

# **Curium Pharma**

# Mise à jour de l'étude d'impact environnemental des rejets de fluor-18 sur le site situé à Rennes (35)

# **Fonctionnement Normal**



<u>Références</u>: Rapport n° 2025.066 <u>Version</u>: V1 – novembre 2025

#### 2025

# Référence du projet :

Titre	Mise à jour de l'étude d'impact environnemental des rejets de fluor-18 sur le site situé à Rennes (35) – Fonctionnement Normal
N° rapport	25.066
N° projet	L-003163
Sous-traitants	-

# **Intervenants:**

<b>Rédacteur(s)</b> Tamara FOURCOUAL – Ingénieure Qualité de l'Air			
Relecteur Héloïse YVERNEAU – Chef de Projet – Responsable de pôle Etudes réglementaire			
Référent	Héloïse YVERNEAU – Chef de Projet – Responsable de pôle Etudes réglementaires		

# Révisions du document :

Version	Date	Modifications
1	18/11/2025	Version initiale

# **SOMMAIRE**

<u>1.</u>	CADI	RE DE L'ETUDE	7
<u>2.</u>	LOCA	ALISATION DU SITE	8
<u>3.</u>	MET	HODOLOGIE MISE EN OEUVRE	9
<u>4.</u>	INVE	NTAIRE DES EMISSIONS DANS L'AIR	10
<u>5.</u>	EVAL	.UATION DES ENJEUX ET DES VOIES D'EXPOSITION	11
	.1 Do	maine d'étude	11
5	.2 Po	pulations	12
	5.2.1	Populations	12
	5.2.2	Établissements recevant du public	14
5	.3 Us	ages autour du site	16
	5.3.1	Réseau hydrographique et recensement des points d'eau	17
	5.3.2	Activités de loisirs	17
5	.4 Me	étéorologie	18
	5.4.1	Données météorologiques	18
	5.4.2	Analyse météorologique	18
<u>6.</u>	ETU	DE DE LA DISPERSION ATMOSPHERIQUE	24
6	.1 Me	éthodologie et modèle utilise	24
6	.2 Do	nnées d'entrée	25
	6.2.1	Topographie	25
	6.2.2	Émissions	26
	6.2.3	Obstacles	26
	6.2.4	Météorologie	29
6	.3 Dé	termination des concentrations dans l'air	29
	6.3.1	Paramétrages du modèle	29
	6.3.2	Présentation des résultats	30
	6.3.3	Concentrations en moyenne annuelle	32
	6.3.4	Dépôts au sol	35
<u>7.</u>	EVAL	.UATION DE L'IMPACT SANITAIRE	38
7.		entification des dangers	
	7.1.1	Effets sur la santé humaine et exposition des populations	38
	7.1.2	Relation Dose-Réponse	39
7.	.2 Scl	néma conceptuel d'exposition	39
	7.2.1	Voies d'exposition	39
	7.2.2	Schéma conceptuel d'exposition	40
7	.3 Est	timation des doses d'exposition	40
	7.3.1	Scénarios d'exposition	41
	7.3.2	Exposition externe (exposition par irradiation)	42
	7.3.3	Exposition interne par inhalation	44
7.	.4 Év	aluation des risques	45

Fonctionnem	ent Normal	2025
7.4.1	Méthodologie	45
7.4.2	Évaluation des risques sanitaires	45
8. INC	RTITUDES	47
8.1 In	certitudes relatives à la modélisation atmosphérique	47
8.1.1	Incertitudes liées au modèle : validation du modèle MSS	47
8.1.2	Incertitudes liées aux données d'entrée	48
8.2 In	certitudes relatives à l'évaluation des risques sanitaires	49
8.2.1	Facteurs de surestimation des risques	49
8.2.2	Facteurs dont le sens d'influence sur les résultats n'est pas connu ou est varial	ble 49
9. CON	ICLUSION	50

# **TABLE DES ILLUSTRATIONS**

# **TABLEAUX**

Tableau 1 : caractéristiques des rejets	. 10
Tableau 2 : données de population (source : Insee, Recensements de la population, mis en lignal 18/10/2018)	
Tableau 3 : fréquence d'apparition de chaque classe de vitesse de vent (Station de Rennes – 01/01/2018 au 31/12/2018)	
Tableau 4 : statistiques relatives à la pluviométrie	. 22
Tableau 5 : paramètres de calcul des dépôts pour chacune des espèces étudiées	. 29
Tableau 6 : description des points d'intérêt	. 30
Tableau 7 : concentrations en moyenne annuelle (Bq/m³)	. 32
Tableau 8 : dépôts totaux au sol moyens annuels	. 35
Tableau 9 : scénarios retenus	. 41
Tableau 10 : coefficients de dose utilisés pour l'exposition externe	. 43
Tableau 11 : doses d'exposition par irradiation (panache + dépôts)	. 43
Tableau 12 : volumes d'air inhalés	. 44
Tableau 13 : doses d'exposition interne par inhalation	. 45
Tableau 14 : doses efficace totale (mSv/an)	. 45
<u>FIGURES</u>	
Figure 1 : localisation du site	8
Figure 2 : localisation du point de rejet	. 10
Figure 3 : carte du domaine d'étude	. 11
Figure 4 : zones IRIS présentes sur le domaine d'étude	. 13
Figure 5 : localisation des populations vulnérables et des équipements sportifs	. 15
Figure 6 : occupation du sol dans la zone d'étude (source : CLC 2018)	. 16
Figure 7 : rose des vents générale – Station de Rennes – année 2018	. 19
Figure 8 : rose des vents générale – Station de Rennes – 2009-2018 (10 ans)	. 19
Figure 9 : répartition des observations en fonction de la stabilité atmosphérique (Station de Renno du 01/01/2018 au 31/12/2018)	. 20
Figure 10 : roses des vents par classe de stabilité (Station de Rennes – du 01/01/2018 au 31/12/20	
Figure 11 : variation de la température sur l'année (Station de Rennes – du 01/01/2018 31/12/2018)	
Figure 12 : variation de la pluviométrie sur l'année (Station de Rennes – du 01/01/2018 31/12/2018)	
Figure 13 : rose des vents calculée à partir des échéances avec pluie	. 23
Figure 14 : rose des vents calculée à partir des échéances sans pluie	. 23
Figure 15 : méthodologie mise en œuvre	. 25
Figure 16 : topographie du domaine d'étude	. 26
Figure 17 : bâtiments sur la zone d'étude (source : BD TOPO, IGN)	. 27
Figure 18 : visualisations 3D des obstacles	. 28

Fonctionnement Normal	2025
Figure 19 : localisation des points d'intérêt	31
Figure 20 : carte de concentration en moyenne annuelle en Fluor-18 en Bq/m³	33
Figure 21 : vues 3D des concentrations au sol en moyenne annuelle en fluor 18 en Bq/m³	34
Figure 22 : carte de dépôts totaux en Fluor-18 en Bq/m² au bout d'un an	36
Figure 23 : carte de dépôts en fluor 18 en Bq/m² au bout d'un an	37
Figure 24 : schéma conceptuel d'exposition	40
Figure 25 : synthèse des doses efficaces totales	46
Figure 26: lignes de courant et concentration en SF6 à 4h10, 4h20 et 4h30	48

# 1. CADRE DE L'ETUDE

En 2020, SUEZ Aria Technologies a réalisé pour le compte de Curium Pharma une étude d'impact radiologique liée au fluor-18 émis sur le site de Rennes (35)<sup>1</sup>.

Ce site est implanté au sein du Centre Hospitalier Universitaire (CHU) de Rennes. Or, le CHU prévoit prochainement de déménager, entrainant d'importantes transformations sur le site actuel. Parmi les projets envisagés figure la construction d'un bâtiment à proximité immédiate des installations de Curium Pharma. Dans ce contexte, l'ASNR demande de vérifier l'impact de ce futur bâtiment sur la dispersion du fluor-18.

Le présent rapport présente la mise à jour de l'évaluation des risques sanitaires liés aux rejets de fluor-18 dans l'atmosphère en fonctionnement normal du site en prenant en compte les évolutions en termes de bâtiments au sein du CHU et notamment à proximité du site.

Ce rapport a été établi sur la base des informations transmises à SUEZ Aria Technologies, des données (scientifiques ou techniques) disponibles et objectives de la règlementation, en vigueur au moment de la réalisation du dossier. La responsabilité de SUEZ Aria Technologies ne pourra être engagée si les informations qui lui ont été fournies sont incomplètes ou erronées.

Sauf mention contraire, l'intégralité des cartographies de ce document sont la propriété de SUEZ Aria Technologies.

1 - Cadre de l'étude SUEZ Aria Technologies

page 7 sur 66

2025

<sup>&</sup>lt;sup>1</sup> Rapport ARIA Technologies, ARIA 2020.008\_V2 – CISBIO - Etude de dispersion et Evaluation des risques sanitaires liés au fluor 18

# 2. LOCALISATION DU SITE

Le site est localisé au nord-ouest de la commune de Rennes (35) comme illustré sur la Figure 1. Il est situé au sein de l'hôpital de Pontchaillou.



Figure 1 : localisation du site

2 - Localisation du site SUEZ Aria Technologies

## 3. METHODOLOGIE MISE EN OEUVRE

Cette étude concerne l'étude de l'impact sur la santé des tiers situés dans l'environnement des rejets de l'installation en fonctionnement normal. Le fonctionnement accidentel n'est pas traité dans le présent rapport.

L'évaluation de l'impact sur la santé des rejets atmosphériques du site a été réalisée :

- En adaptant la méthodologie INERIS « Évaluation de l'état des milieux et des risques sanitaires – Démarche intégrée pour la gestion des émissions des substances chimiques par les installations classées » (août 2013) en application de la circulaire DGPR & DGS du 9 août 2013;
- Sur la base des données disponibles dans l'arrêté du 16 novembre 2023 définissant les modalités de calcul des doses efficaces et des doses équivalentes résultants de l'exposition des personnes aux rayonnements ionisants;
- En suivant les préconisations du guide IRSN<sup>2</sup> pour l'élaboration de l'étude d'impact radiologique d'une installation cyclotron (Rapport IRSN N° 2022-00193).

Les étapes constituant la démarche sont les suivantes :

- 1. Évaluation des émissions atmosphériques de l'installation;
- 2. Évaluation des enjeux et des voies d'exposition : schéma conceptuel décrivant les relations entre les sources de polluants, les milieux et vecteurs de transfert, les usages et les populations exposées ;
- 3. Évaluation prospective des risques sanitaires :
  - a. Estimation de la dose efficace totale annuelle générée par les émissions du site ;
  - b. Comparaison de la dose efficace annuelle à la valeur limite d'exposition définie par la réglementation et au niveau ambiant mesuré dans l'environnement du site ;
  - c. Analyse des incertitudes.

\_

<sup>&</sup>lt;sup>2</sup> Institut de Radioprotection et de Sûreté Nucléaire

# 4. INVENTAIRE DES EMISSIONS DANS L'AIR

Cette partie n'a pas été mise à jour par rapport à l'étude de 2020.

Seules les émissions de fluor-18 sont étudiées dans le cadre de cette étude.

Les émissions à l'atmosphère se font par un seul point de rejet. Les informations relatives aux rejets ont été transmises par Curium Pharma.

Les caractéristiques du point de rejet ainsi que ses émissions sont détaillées dans le Tableau 1. Le point de rejet est localisé en Figure 2 qui présente également son orientation (il s'agit d'un rejet horizontal).

Tableau 1 : caractéristiques des rejets

Paramètres	Unités	Cheminée modélisée
Coordonnée X et Y	Lat./Long.	48.119978, -1.69509
Hauteur par rapport au sol	m	8,2
Dimension de la cheminée au niveau de l'éjection	m	3 x 0,9 m Orientation Est/Sud-Est
Surface émettrice	m²	2,7
Diamètre équivalent	m	1,85
Température des rejets	°C	20
Vitesse d'éjection (au débouché)	m/s	1,3
Nombre d'heures de fonctionnement	h	3 500 h/an
Périodes de fonctionnement	-	00h30 à 13h30 h/jour du lundi au vendredi, 50 semaines/an
Terme source	GBq/an	500

Orientation des rejets

Figure 2 : localisation du point de rejet

# 5. EVALUATION DES ENJEUX ET DES VOIES D'EXPOSITION

Cette partie n'a pas été mise à jour par rapport à l'étude de 2020.

## **5.1** DOMAINE D'ETUDE

Le domaine d'étude retenu est un carré de 2 km de côté centré sur la cheminée du site de Curium Pharma. Il est représenté par un carré sur la Figure 3.

Légende 250 Mètres Domaine d'étude Source

Figure 3 : carte du domaine d'étude

#### **5.2** Populations

# 5.2.1 Populations

Seize zones IRIS sont présentes dans le domaine d'étude : Rue de Brest Est, La Touche, Rue de Brest Ouest, Cathedrale, Villejean Nord Est, Beauregard, Mail, Hotel Dieu, Champeaux, Villejean Sud Est, Vieux Saint-Etienne, Cimetiere du Nord, Jean Ogee, Pontchaillou, Saint-Louis, Stade Rennais.

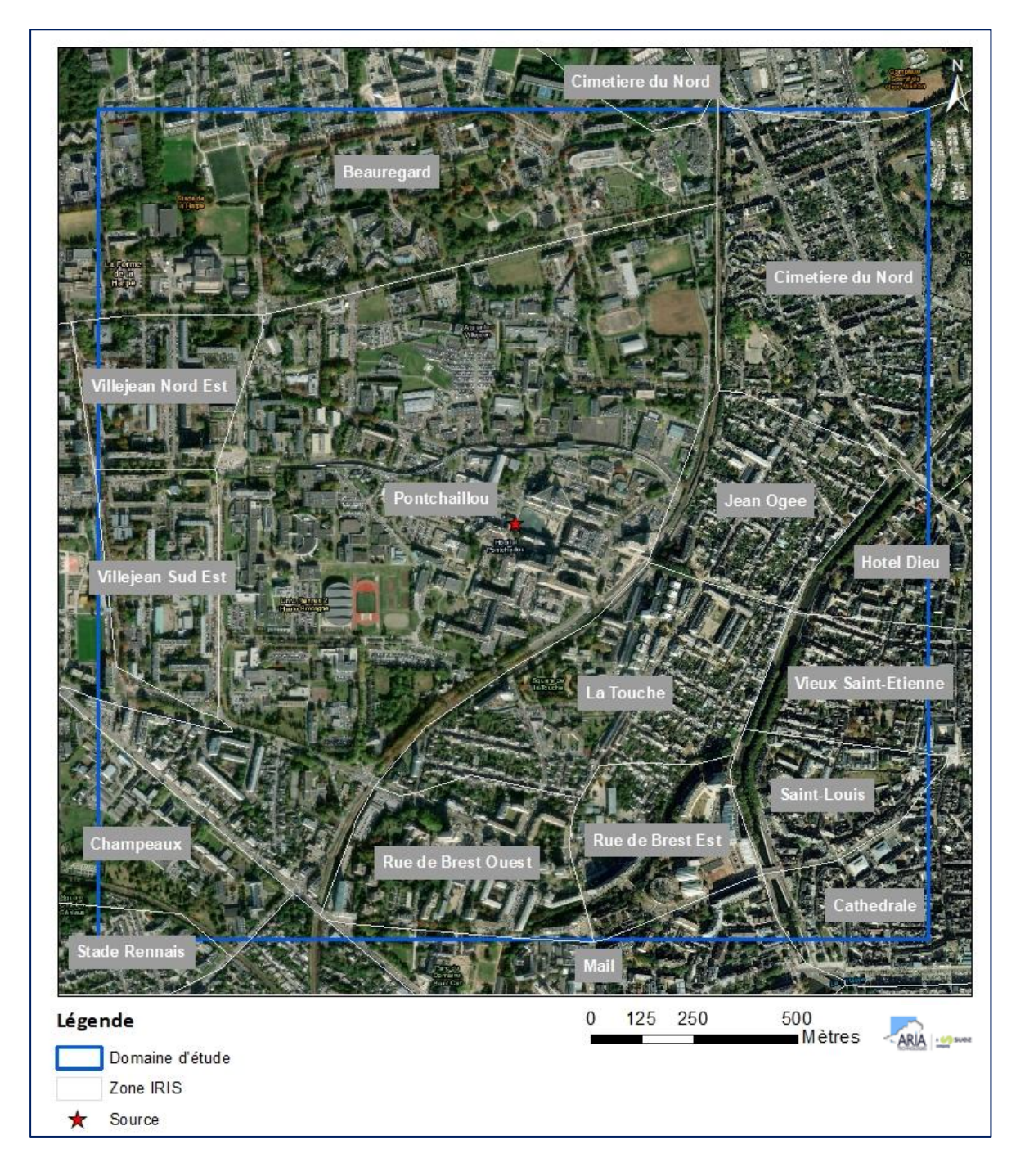
Le Tableau 2 indique les données de population pour les 16 IRIS citées précédemment.

<u>Tableau 2 : données de population (source : Insee, Recensements de la population, mis en ligne le 18/10/2018)</u>

Dép.	Communes	IRIS	Surface de l'IRIS (km²)	Population principale en 2015	Densité de population 2015 (hab/km²)	Population principale en 2015 pour les 0 - 14 ans
35	Rennes	Cathédrale	0,22	2 834	12 990	250
35	Rennes	Saint-Louis	0,12	2 010	17 021	172
35	Rennes	Vieux Saint-Etienne	0,18	1 906	10 423	178
35	Rennes	Hôtel Dieu	0,16	2 543	15 625	245
35	Rennes	Mail	0,36	4 466	12 301	392
35	Rennes	Rue de Brest Ouest	0,20	2 413	12 153	199
35	Rennes	Rue de Brest Est	0,14	2 310	16 034	222
35	Rennes	La Touche	0,30	2 853	9 656	370
35	Rennes	Stade Rennais	0,47	2 364	5 076	379
35	Rennes	Champeaux	0,87	363	418	37
35	Rennes	Jean Ogee	0,18	1 410	7 632	145
35	Rennes	Cimetière du Nord	1,12	3 852	3 442	602
35	Rennes	Pontchaillou	1,30	4 003	3 082	176
35	Rennes	Villejean Sud Est	0,15	2 228	15 269	275
35	Rennes	Villejean Nord Est	0,14	2 179	15 416	274
35	Rennes	Beauregard	1,65	5 250	3 184	892

La Figure 4 localise les zones IRIS dans le domaine d'étude.

Figure 4 : zones IRIS présentes sur le domaine d'étude



#### 5.2.2 Établissements recevant du public

Certaines populations, plus particulièrement sensibles à la qualité de l'air, peuvent être recensées par l'intermédiaire des structures qu'elles fréquentent :

- Enfants : crèches et écoles ;
- Personnes âgées : maisons de retraite ;
- Personnes malades : hôpitaux et cliniques ;
- Sportifs : stades, centres sportifs, terrains de sport extérieurs.

Sur le domaine d'étude, on dénombre :

- 9 crèches<sup>3</sup>;
- 9 écoles maternelles et primaires<sup>4</sup>;
- 3 collèges et lycées ;
- 30 établissements sanitaires et sociaux<sup>5</sup>;
- 13 équipements sportifs<sup>6</sup>.

La Figure 5 localise ces établissements, présentés en Annexe 1.

2025

<sup>&</sup>lt;sup>3</sup> Source : <u>https://lescreches.fr</u>

<sup>&</sup>lt;sup>4</sup> Source : annuaire de l'éducation nationale <a href="http://www.education.gouv.fr/">http://www.education.gouv.fr/</a>

<sup>&</sup>lt;sup>5</sup> Source: FINESS

<sup>&</sup>lt;sup>6</sup> Source : http://www.res.sports.gouv.fr/

500 Mètres 125 250 Légende ARIA Sues Etablissements sanitaires et sociaux Domaine d'étude Source Collèges - Lycées Ecoles Crèches

Figure 5 : localisation des populations vulnérables et des équipements sportifs

Equipements sportifs extérieurs

#### **5.3** Usages autour du site

Le site se trouve en zone urbaine (cf. Figure 6). L'environnement immédiat du site est principalement composé par des tissus urbains continus et discontinus au nord et des zones industrielles.

La figure ci-dessous permet de localiser les affectations du sol à proximité du site (données Corine Land Cover, année 2018).

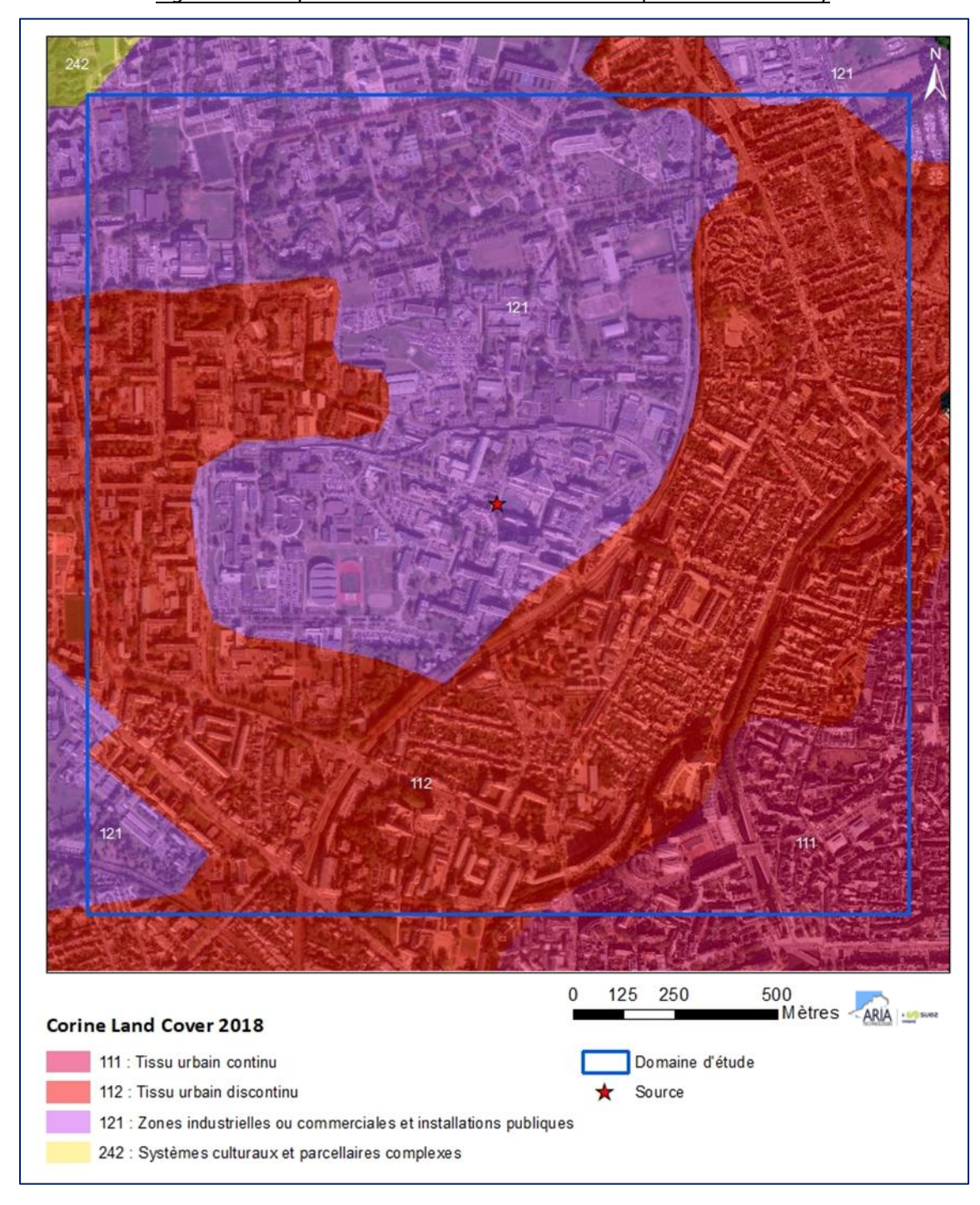


Figure 6 : occupation du sol dans la zone d'étude (source : CLC 2018)

## 5.3.1 Réseau hydrographique et recensement des points d'eau

Aucun captage d'eau destinée à la consommation humaine, captages en eau souterraine et en eau de surface continentale (rivières, lacs) n'est présent dans le domaine d'étude.

Ces données sont issues du référentiel des captages AEP (Alimentation en Eau Potable), disponible sur le site http://www.ades.eaufrance.fr/. Le référentiel des captages d'eau souterraine est élaboré à partir de champs issus d'une part de la base de données du ministère en charge de la Santé SISE-Eaux (Système d'information en santé environnement sur les eaux) et d'autre part de ceux de la banque de données du BRGM BSS EAU (Banque du Sous-sol Eau).

#### 5.3.2 Activités de loisirs

Aucune zone de baignade officielle en rivière ou en lac n'a été recensée dans le domaine d'étude<sup>7</sup>.

\_

2025

<sup>&</sup>lt;sup>7</sup> Source: https://baignades.sante.gouv.fr/

#### **5.4** METEOROLOGIE

Les paramètres les plus importants pour les problèmes liés à la pollution atmosphérique sont : la direction du vent, la vitesse du vent, la température extérieure, la stabilité de l'atmosphère et la pluviométrie.

Ces paramètres sont variables dans le temps et dans l'espace. Ils résultent de la superposition de phénomènes atmosphériques à grande échelle (régime cyclonique ou anticyclonique) et de phénomènes locaux (influence de la rugosité, de l'occupation des sols et de la topographie). C'est pourquoi il est nécessaire de rechercher des chroniques météorologiques :

- Suffisamment longues et complètes ;
- Représentatives de la climatologie du site.

#### 5.4.1 Données météorologiques

Plusieurs paramètres rentrent en ligne de compte pour le choix de la station météorologique la plus représentative de la zone d'étude :

- Sa position géographique : la station retenue doit être la plus proche possible de la zone d'étude et il ne doit pas exister d'obstacle majeur entre la station et la zone d'étude ;
- La cadence d'acquisition des données météorologiques : Météo France possède des stations où les relevés sont faits toutes les heures et d'autres tous les jours. Pour notre étude, nous avons besoin de données météorologiques suffisamment fines au niveau horaire pour avoir une bonne représentativité de la météorologie locale et pour prendre en compte les phénomènes météorologiques diurnes. Il est habituel d'utiliser des bases de données météorologiques comportant les paramètres vent, température et nébulosité toutes les heures ou toutes les 3 heures pendant une ou plusieurs années ;
- La pertinence des données météorologiques.

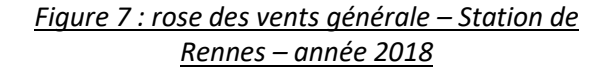
Selon les critères ci-dessus, les données météorologiques retenues pour la simulation de dispersion proviennent des observations de la station de Rennes Saint-Jacques située à environ 6 km au sudouest du site. Elles correspondent aux données de vent (vitesse, direction et couverture nuageuse), de température et de précipitations. Les données météorologiques utilisées sont des mesures horaires (1 mesure toutes les heures) sur la période du 01/01/2018 au 31/12/2018. La rose des vents sur l'année 2018 (cf. Figure 7) est relativement similaire à la rose des vents décennale (cf. Figure 8). L'année 2018 est donc caractéristique des conditions de vents sur la zone d'étude.

#### 5.4.2 Analyse météorologique

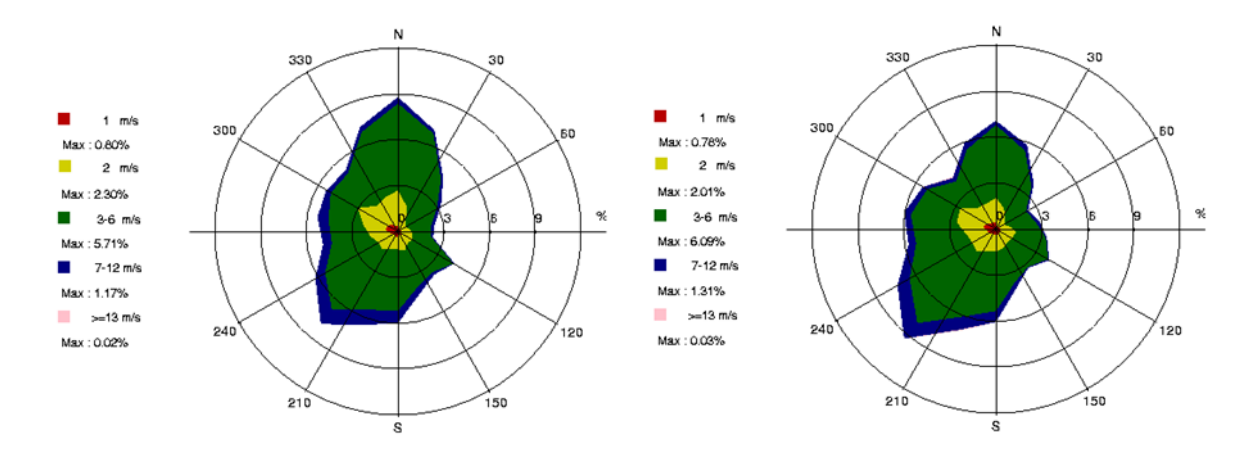
#### 5.4.2.1 Roses des vents

La rose des vents, en un lieu donné, est la représentation graphique des fréquences des vents classées par direction et vitesse. Les intersections de la courbe avec les cercles d'une fréquence donnée fournissent les fréquences cumulées d'apparition des vents en fonction de la direction d'où vient le vent.

La Figure 7 présente la rose des vents générale pour la station météorologique de Rennes sur la période du 01/01/2018 au 31/12/2018, tandis que la Figure 8 présente la rose des vents générale sur les dix dernières années (du 01/01/2009 au 31/12/2018). Le Tableau 3 synthétise les fréquences d'occurrence par classe de vitesse, toutes directions confondues.



<u>Figure 8 : rose des vents générale – Station de</u> Rennes – 2009-2018 (10 ans)



<u>Tableau 3 : fréquence d'apparition de chaque classe de vitesse de vent (Station de Rennes – du 01/01/2018 au 31/12/2018)</u>

Classe de vitesse (m/s)	calmes	1	2	3-6	7-12	>=13
Borne de l'intervalle	[0;0,9[	[0,9 ; 1,5[	[1,5 ; 2,5[	[2,5 ; 6,5[	[6,5 ; 12,5[	[12,5;∞[
Fréquence (%)	4,6	6,5	21,2	59,3	8,3	0

La rose des vents sur l'année 2018 (cf. Figure 7) est similaire à la rose des vents décennale (cf. Figure 8). L'année 2018 est donc caractéristique des conditions de vents sur la zone d'étude.

Les principaux résultats de cette analyse sont les suivants :

- La rose des vents montre deux directions privilégiées :
  - vents dominants du nord (23,4% des occurrences du vent mesuré ont une direction comprise entre 340° et 20°8),
  - vents du secteur **ouest/sud-ouest** (37,4% des occurrences du vent mesuré ont une direction comprise entre 200° et 300°).
- Les vents les plus fréquents sont les vents de vitesse comprise entre 2,5 et 6,5 m/s. Les vents ont une vitesse moyenne de 3,5 m/s (12,5 km/h);
- Les vents forts (vitesse supérieure à 6,5 m/s) sont peu fréquents et représentent 8,3% des observations;
- Les vents faibles (vitesse inférieure à 1,5 m/s) sont relativement peu fréquents, ils représentent 11,1% des observations dont 4,6% de vents calmes.

#### 5.4.2.2 Stabilité atmosphérique

La stabilité de l'atmosphère est destinée à quantifier les propriétés diffuses de l'air dans les basses couches. Elle est souvent associée à la structure thermique de l'atmosphère : par exemple, les situations d'inversion thermique se produisent lorsque l'atmosphère est stable.

<sup>&</sup>lt;sup>8</sup> Les directions du vent sont données en degrés par rapport au Nord et indiquent la direction d'où vient le vent (convention météorologique internationale). Un vent de 0° est donc un vent venant du Nord, un vent de 180° est un vent venant du Sud.

Dans cette étude, elle a été déterminée à partir des données de nébulosité et de vitesse de vent, ce qui conduit à distinguer six catégories de stabilité de l'atmosphère :

Classe A : Très instable

Classe B : Instable

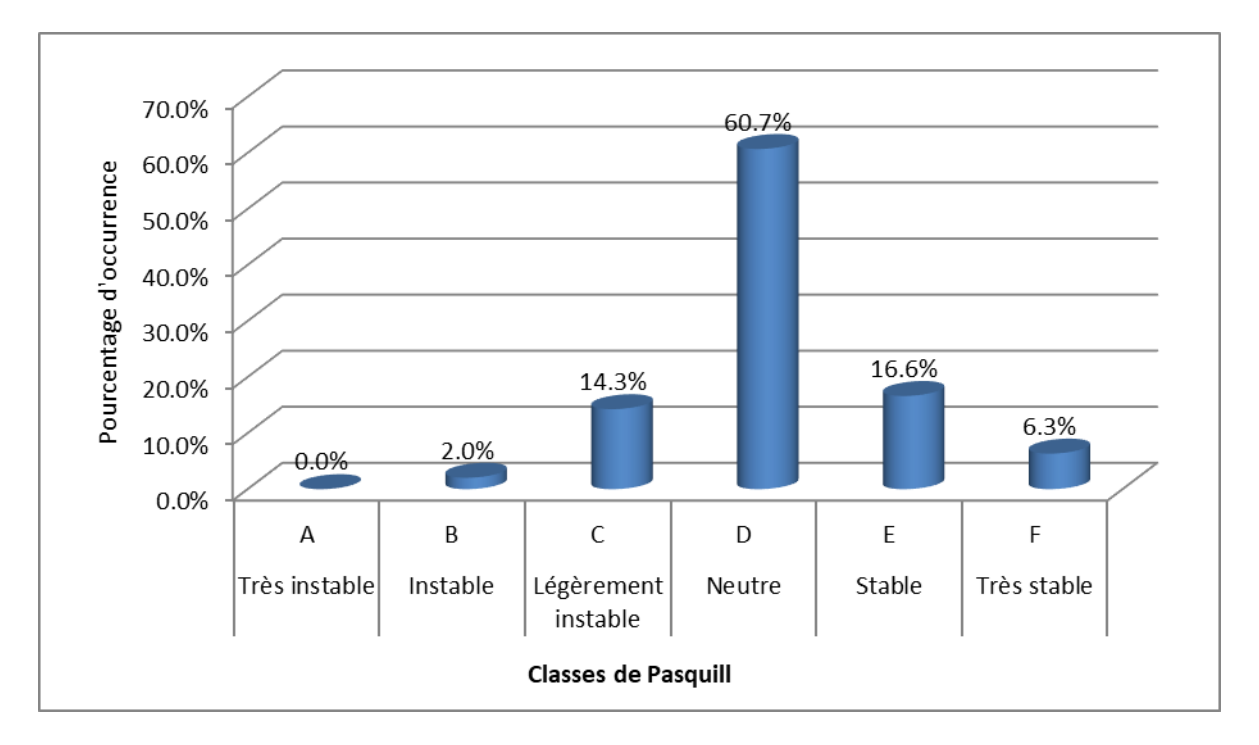
• Classe C : Légèrement instable

Classe D : Neutre
Classe E : Stable
Classe F : Très stable

Plus l'atmosphère est stable (catégories E et F), plus les conditions de dispersion sont défavorables. Ces situations freinent le déplacement des masses d'air et se retrouvent principalement par vents faibles et la nuit.

Le diagramme de la Figure 9 présente la répartition des observations en fonction de la stabilité atmosphérique.

<u>Figure 9 : répartition des observations en fonction de la stabilité atmosphérique (Station de Rennes – du 01/01/2018 au 31/12/2018)</u>

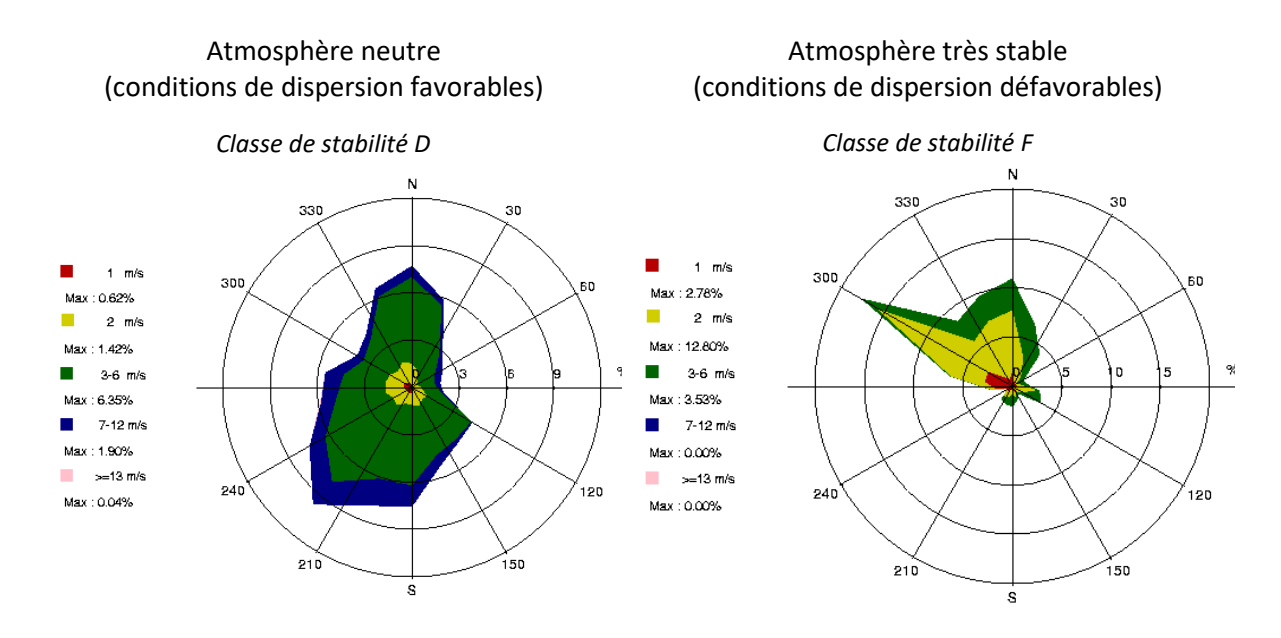


La classe D de Pasquill est la plus représentée sur le site (60,7%), ce qui est favorable pour la dispersion atmosphérique. Les classes E et F (peu favorables au niveau de la dispersion) représentent 22,9% des observations.

Les vents ont une vitesse moyenne d'environ 2,4 m/s en situation stable - donc pénalisante pour la dispersion des émissions -, tandis qu'en atmosphère neutre, elle est de 4 m/s.

De par leurs représentations majoritaires, les situations d'atmosphère neutre suivent la même tendance que les vents de la rose des vents générale (vent du secteur ouest/sud-ouest et nord, cf. Figure 7), tandis qu'en atmosphère stable, vents défavorables à la dispersion, les vents viennent majoritairement du secteur nord-ouest avec des vents plus faibles, comme le montre la Figure 10.

Figure 10 : roses des vents par classe de stabilité (Station de Rennes – du 01/01/2018 au 31/12/2018)

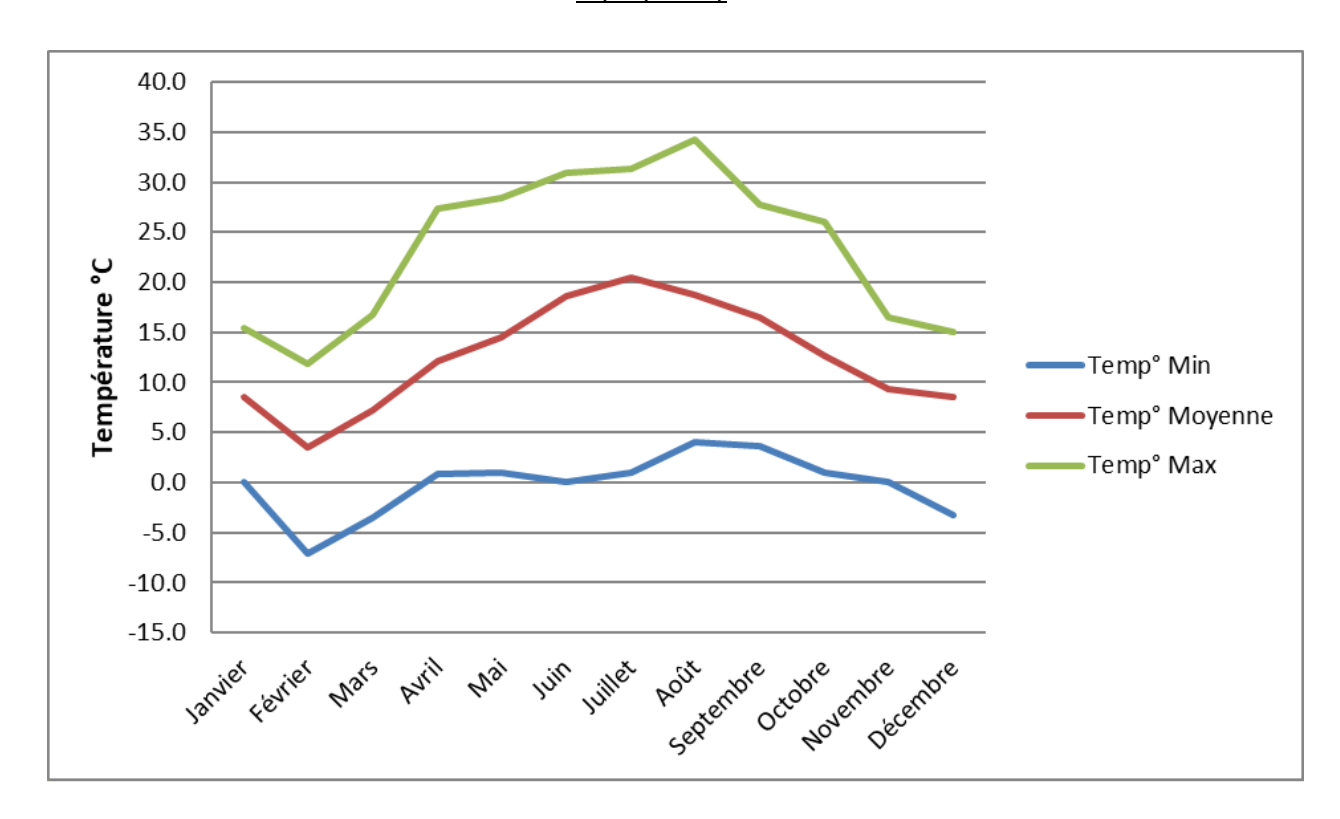


#### 5.4.2.3 Température

La température de l'air, autre paramètre intervenant dans le processus de dispersion des polluants, est en moyenne de 12,6°C sur l'année 2018.

La Figure 11 présente les variations de la température minimale, moyenne et maximale sur l'année.

<u>Figure 11 : variation de la température sur l'année (Station de Rennes – du 01/01/2018 au 31/12/2018)</u>



#### 5.4.2.4 Pluviométrie

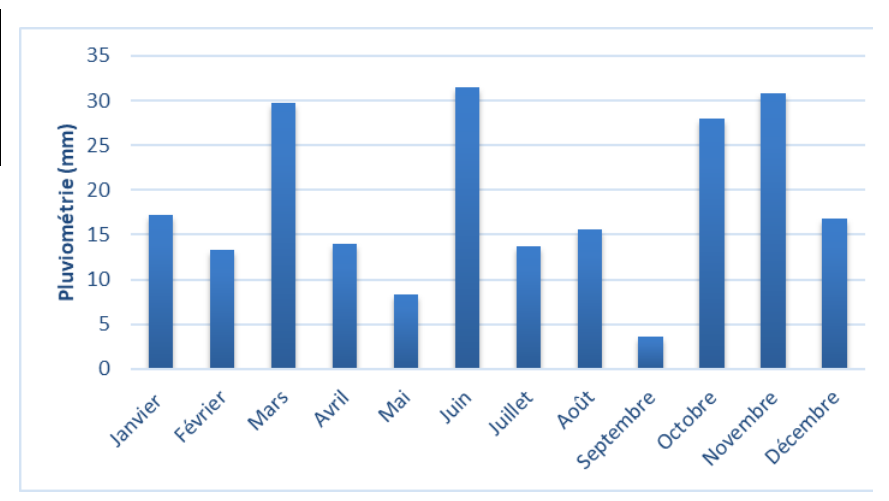
Dans le cadre de cette étude, nous avons tenu compte des données de pluviométrie recueillies sur la station Météo-France de Rennes.

<u>Tableau 4 : statistiques</u> relatives à la pluviométrie

Cumul annuel des précipitations (mm)

2018 667

Figure 12 : variation de la pluviométrie sur l'année (Station de Rennes – du 01/01/2018 au 31/12/2018)



Notons que sur la période étudiée (du 01/01/2018 au 31/12/2018), il est tombé environ 667 mm de pluie sur l'année (cf. Tableau 4), les mois les plus pluvieux étant les mois de juin, novembre et mars.

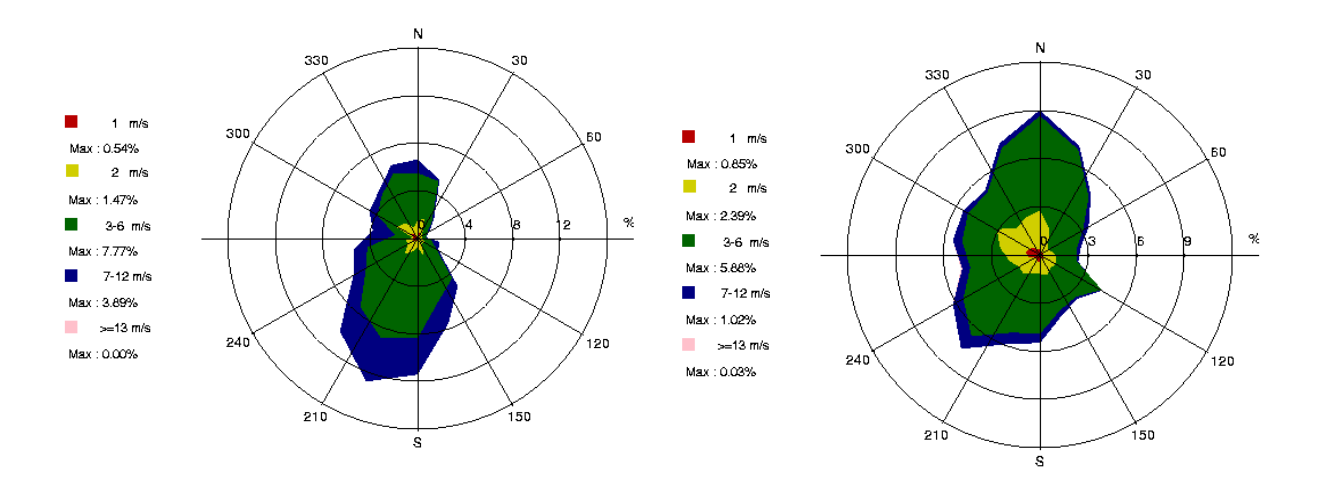
La rose des vents générale (cf. Figure 7) tient compte à la fois des journées avec pluie et sans pluie. Pour affiner l'interprétation, il est possible de séparer les deux types de journées et obtenir les roses des vents correspondantes (Figure 13 et Figure 14).

Sur la période considérée (01/01/2018 au 31/12/2018), il apparaît que :

- Echéances avec pluie: il a plu environ 8,8% du temps sur l'année 2018 (8,8% des observations correspondent à des échéances où la quantité de pluie est non nulle). L'analyse de la Figure 13 permet de constater que, dans ces conditions, les vents proviennent du secteur sud/sud-ouest;
- *Echéances sans pluie :* le reste du temps (91,2% des observations), les vents présentent les directions privilégiées de la rose des vents générale (cf. Figure 14).

<u>Figure 13 : rose des vents calculée à partir des</u> <u>échéances avec pluie</u>

<u>Figure 14 : rose des vents calculée à partir des</u> <u>échéances sans pluie</u>



# 6. ETUDE DE LA DISPERSION ATMOSPHERIQUE

Afin d'estimer les concentrations et dépôts dans l'environnement en fluor-18 attribuables à l'installation, une étude de dispersion a été réalisée.

#### **6.1** METHODOLOGIE ET MODELE UTILISE

Deux mécanismes sont prépondérants dans la dispersion des polluants atmosphériques :

- Le transport du polluant par le vent (influence des obstacles et des conditions climatiques);
- La diffusion du polluant par la turbulence : diffusion (autour de l'axe de propagation) par la turbulence qui reflète les fluctuations du panache par rapport au vent moyen (influence des émissions et de la structure thermique).

Pour les simuler et compte-tenu du contexte urbain et de la présence de bâtiments autour du site, nous avons utilisé le logiciel **ARIA Impact 3D** en mettant en œuvre le modèle 3D **PMSS** (ou Parallel Micro SWIFT-SPRAY). Contrairement aux modèles gaussiens, ce modèle permet de prendre en compte avec précision les champs météorologiques quelles que soient les conditions atmosphériques et la nature du relief. Il est donc particulièrement adapté à des modélisations de sites complexes, accidentés, ou en milieu urbain, présentant des caractéristiques météorologiques particulières. Grâce à un temps de calcul relativement faible, cet outil permet de représenter les distributions de concentration en présence d'obstacles et d'accéder à l'impact à court terme (situation accidentelle) ou à long terme (moyenne annuelle, centile) des émissions.

PMSS (description technique du logiciel en Annexe 1) repose sur la mise en œuvre de :

- SWIFT: modèle de calcul de champs tridimensionnels de vent et de température prenant notamment en compte l'influence du relief, de l'occupation des sols et des bâtiments. Il a été validé sur de nombreuses campagnes de mesures réalisées notamment par le US Department of Defence (Defence and Threat Response Agency) ainsi que sur des mesures en soufflerie atmosphérique;
- SPRAY: modèle lagrangien tridimensionnel de type Monte-Carlo permettant de calculer la dispersion de polluant à partir du champ de vent tridimensionnel calculé par SWIFT, en utilisant un grand nombre de pseudo-particules (le polluant est simulé par des "particules virtuelles").

La méthodologie employée ici se décompose en plusieurs étapes successives :

- <u>Etape 1</u>: constitution d'une base météorologique complète au pas horaire sur une année (année 2018, représentative des conditions de vents de la zone d'étude, cf. paragraphe 4.5);
- <u>Etape 2</u>: modélisation de l'écoulement du vent en 3D pour chaque échéance horaire de la base météo → champs de vent 3D heure par heure soit 8 760 échéances ;
- <u>Etape 3</u>: modélisation de la dispersion des émissions pour chaque échéance horaire de la base météo à partir des champs de vent 3D calculés à l'étape 2 → concentrations 3D heure par heure soit 8 760 échéances ;
- <u>Etape 4</u>: calcul statistique des concentrations moyennes annuelles et des dépôts au sol à partir des résultats 3D horaires calculés sur l'année.

La Figure 15 présente la méthodologie mise en œuvre pour déterminer les concentrations dans l'air.

Données d'émissions Données météo Données site Types et localisation des Séries chronologiques Topographie, sources, variations horaires sur une année occupation des sols temporelles des débits (8760 cas météo) Modélisation météorologique 3D heure par heure (champs de vent 3D horaires) Maquette 3D des bâtiments Modélisation 3D du transport et de la diffusion heure par heure (concentrations 3D horaires) Calcul des statistiques (moyennes annuelles) Tableaux et cartographies des concentrations et dépôts sur le sol (2D et 3D)

Figure 15: méthodologie mise en œuvre

#### 6.2 DONNEES D'ENTREE

A l'exception des données concernant les obstacles (dont la mise à jour est l'objet du présent rapport), les paragraphes ci-dessous sont identiques par rapport à l'étude de 2020.

#### 6.2.1 Topographie

La topographie est issue d'un Modèle Numérique de Terrain au pas de 30 mètres<sup>9</sup>. La Figure 16 présente une vue 2D et 3D de la topographie sur le domaine d'étude. L'unité est le mètre NGF (Nivellement Général de la France). Le relief du domaine d'étude varie entre 24 m et 65 m environ.

6 - Etude de la dispersion atmosphérique

<sup>&</sup>lt;sup>9</sup> Source : https://opentopography.org/

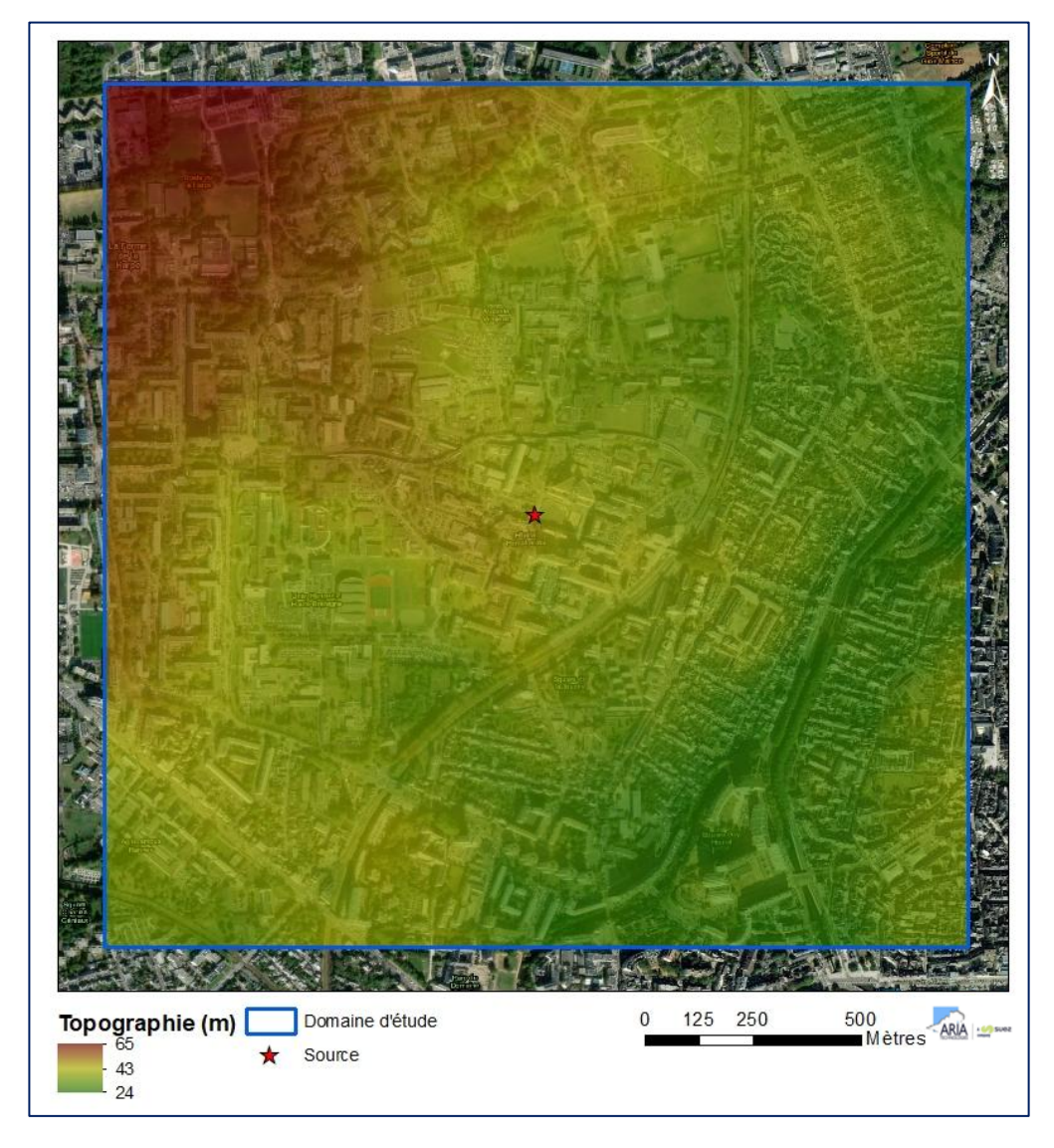


Figure 16 : topographie du domaine d'étude

### 6.2.2 Émissions

Les émissions prises en compte correspondent au terme source présenté dans le Tableau 1, paragraphe 4.

Le flux annuel de 500 GBq/an a été ramené à un flux horaire réel en tenant compte du nombre d'heures de fonctionnement (à savoir 3 500 h/an). Le rejet est supposé être émis uniquement 13 heures par jour du lundi au vendredi durant 50 semaines de l'année.

La vitesse d'éjection et la température sont considérées comme constantes pendant les phases de rejets (cf. paragraphe 4 pour les valeurs retenues).

#### 6.2.3 Obstacles

Les informations concernant les obstacles (bâti existant) sont issues de la BD TOPO® (juin 2025) de l'IGN. La Figure 17 présente les obstacles de la zone d'étude et la hauteur des bâtiments les plus proches sur la vue zoomée. La Figure 18 présente des vues 3D des bâtiments.

Figure 17: bâtiments sur la zone d'étude (source: BD TOPO, IGN)

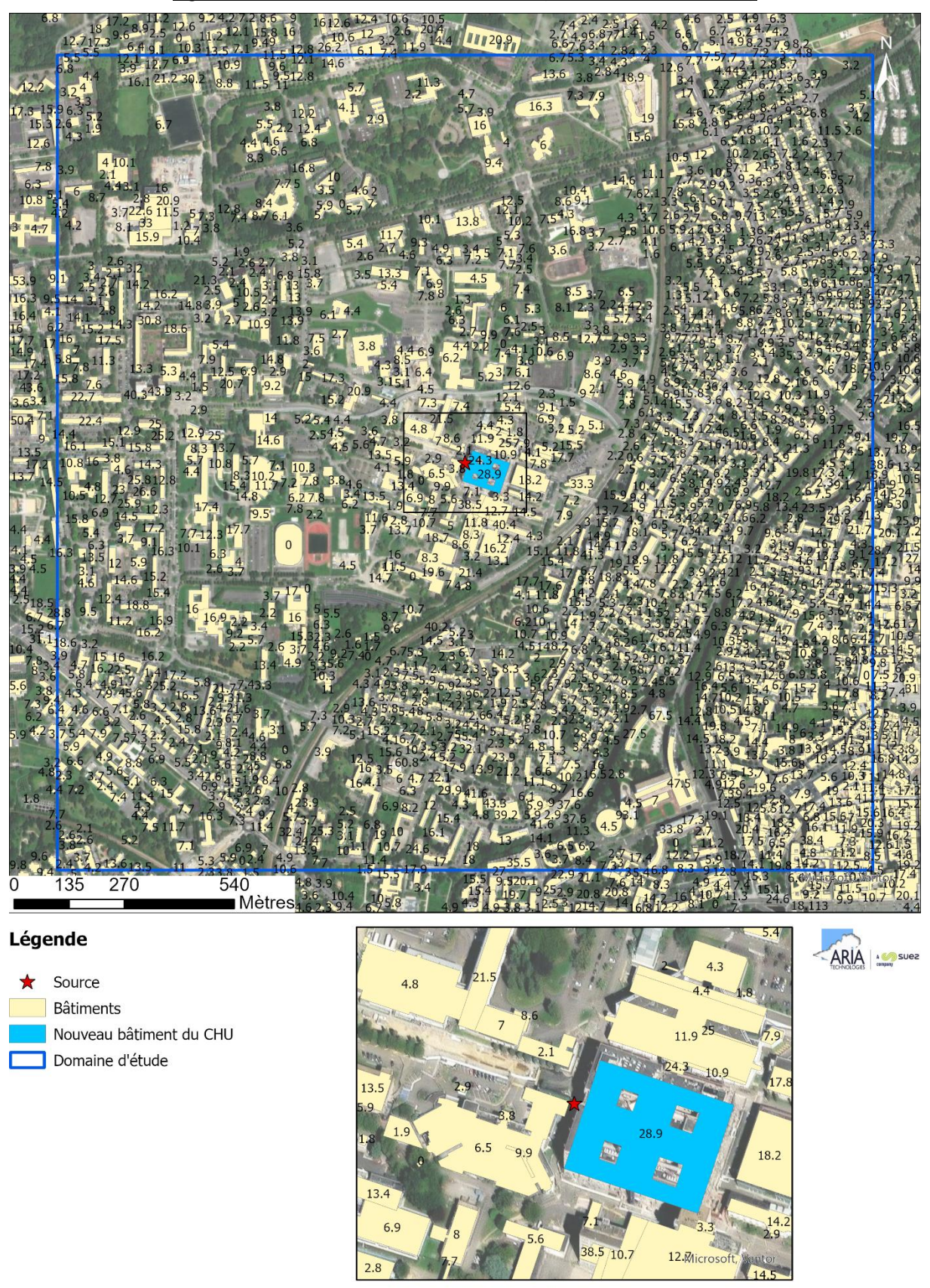
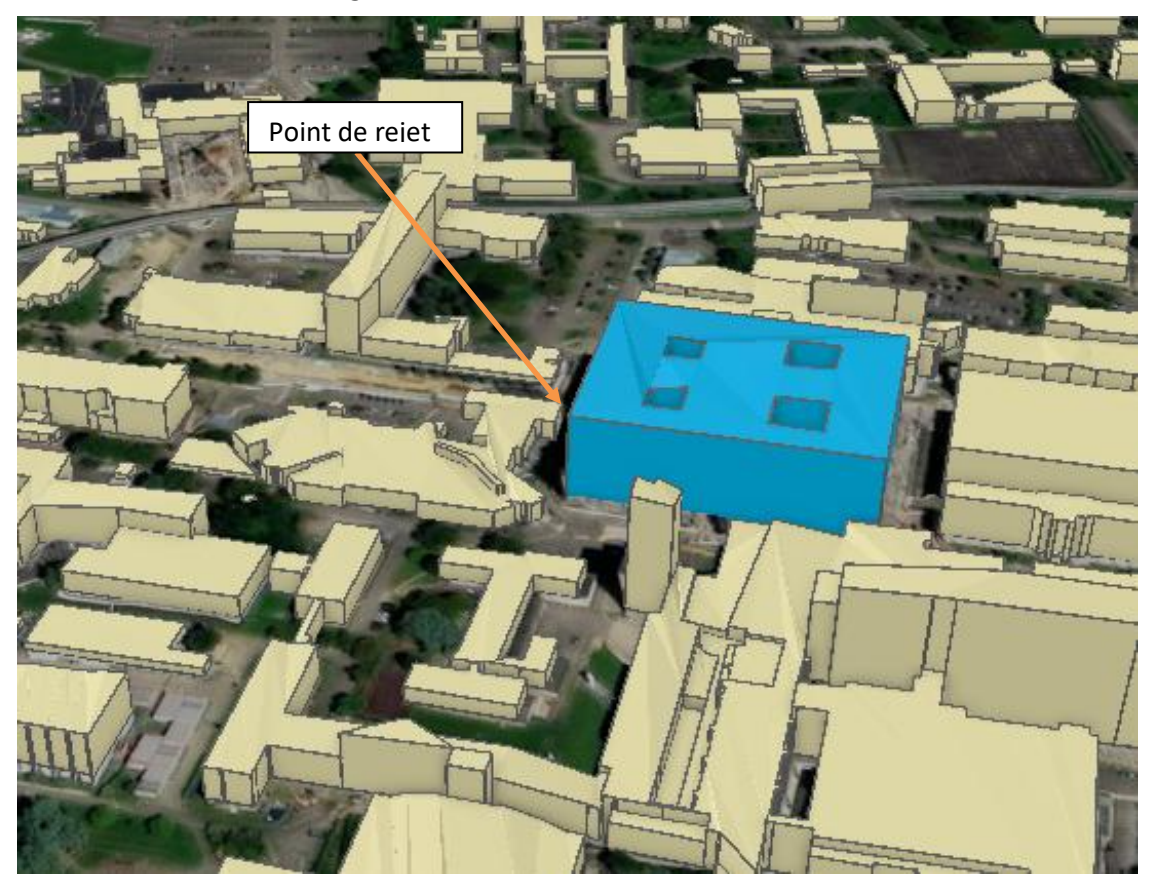


Figure 18: visualisations 3D des obstacles





#### 6.2.4 Météorologie

Les données retenues correspondent aux données présentées au paragraphe 5.4.2 à savoir les données horaires de vent (vitesse et direction), température et nébulosité provenant de la station météorologique de Rennes. Les données de précipitations proviennent de la station Météo-France de Rennes pour l'année 2018 (1 mesure par heure sur la période du 01/01/2018 au 31/12/2018 soit 8 760 échéances horaires). Rappelons que l'année 2018 est représentative des conditions météorologiques de la zone (cf. paragraphe 5.4).

À partir de ces données, le modèle météorologique utilisé pour les simulations (cf. Figure 15 page 25) reconstitue l'écoulement du vent sur le domaine d'étude afin de bien reconstruire un champ de vent 3D à chaque échéance horaire de l'année. Ainsi, 8 760 situations météorologiques réelles sont modélisées successivement par le modèle.

## 6.3 DETERMINATION DES CONCENTRATIONS DANS L'AIR

#### 6.3.1 Paramétrages du modèle

#### 6.3.1.1 Grille de calcul

Le but étant de modéliser les obstacles présents dans la zone d'étude et pouvant influer sur les écoulements d'air, ces obstacles ont été modélisés en fonction de leur volume et surtout de leur hauteur. Ces bâtiments ont été pris en compte avec une résolution de 5 mètres dans le plan horizontal et avec une hauteur qui dépend de la répartition des niveaux verticaux. Pour les simulations de la dispersion des polluants, il a été défini 20 niveaux verticaux répartis entre 0 et 400 mètres d'altitude. La hauteur de maille la plus petite est de 2 m près du sol et la plus grande maille, au niveau du plafond du domaine, atteint 200 m.

#### 6.3.1.2 Autres paramètres de calcul

Les simulations ont été réalisées pour des états stationnaires.

Les valeurs des différents paramètres de calcul pouvant influencer la qualité des résultats de modélisation sont :

- Pas de temps d'émissions des particules : 5 s ;
- Nombre de particules émises par pas de temps : 100 ;
- Durée de moyennage : 3 600 secondes.

Le Tableau 5 résume les valeurs utilisées dans le cadre de cette étude pour le calcul des dépôts.

<u>Tableau 5 : paramètres de calcul des dépôts pour chacune des espèces étudiées</u>

Polluant	Phase du polluant	Vitesse de dépôt sec (m/s)	Coefficient de lessivage (s <sup>-1</sup> )	Diamètre de particules	Demi-vie (s)	Source biblio.
Fluor-18	Particules	5.10 <sup>-3</sup>	2.10 <sup>-4</sup>	1 μm	6 590	[1]

[1] CERES (Code d'Evaluations Rapides Environnementales et Sanitaires)

#### **6.3.2** Présentation des résultats

Les résultats sont exprimés sous forme de :

- Concentrations en moyenne annuelle exprimées en Bq/m³;
- Dépôts au sol pour les espèces particulaires exprimés en Bq/m²/s.

Les résultats de l'étude sont donnés sous forme de cartes et de tableaux. Ces résultats ne concernent que la contribution des rejets étudiés. Les résultats sont également présentés au niveau de points d'intérêt présentés sur la Figure 19 et dans le Tableau 6.

<u>Tableau 6 : description des points d'intérêt</u>

N°	Nom	Distances (en mètre)
1	Centre cardio-pneumologique	80
2	Centre urgences réanimations	115
3	Bloc hôpital	90
4	Crèche du CHU	290
5	5 Lycée professionnel Coëtlognon	
6	6 Siuaps (Cosec Villejean)	
7	7 Halte-garderie Croc'Mahon	
8	8 Crèche Au Clair de la Lune	
9	Ecole primaire privée St Jean Bosco	685

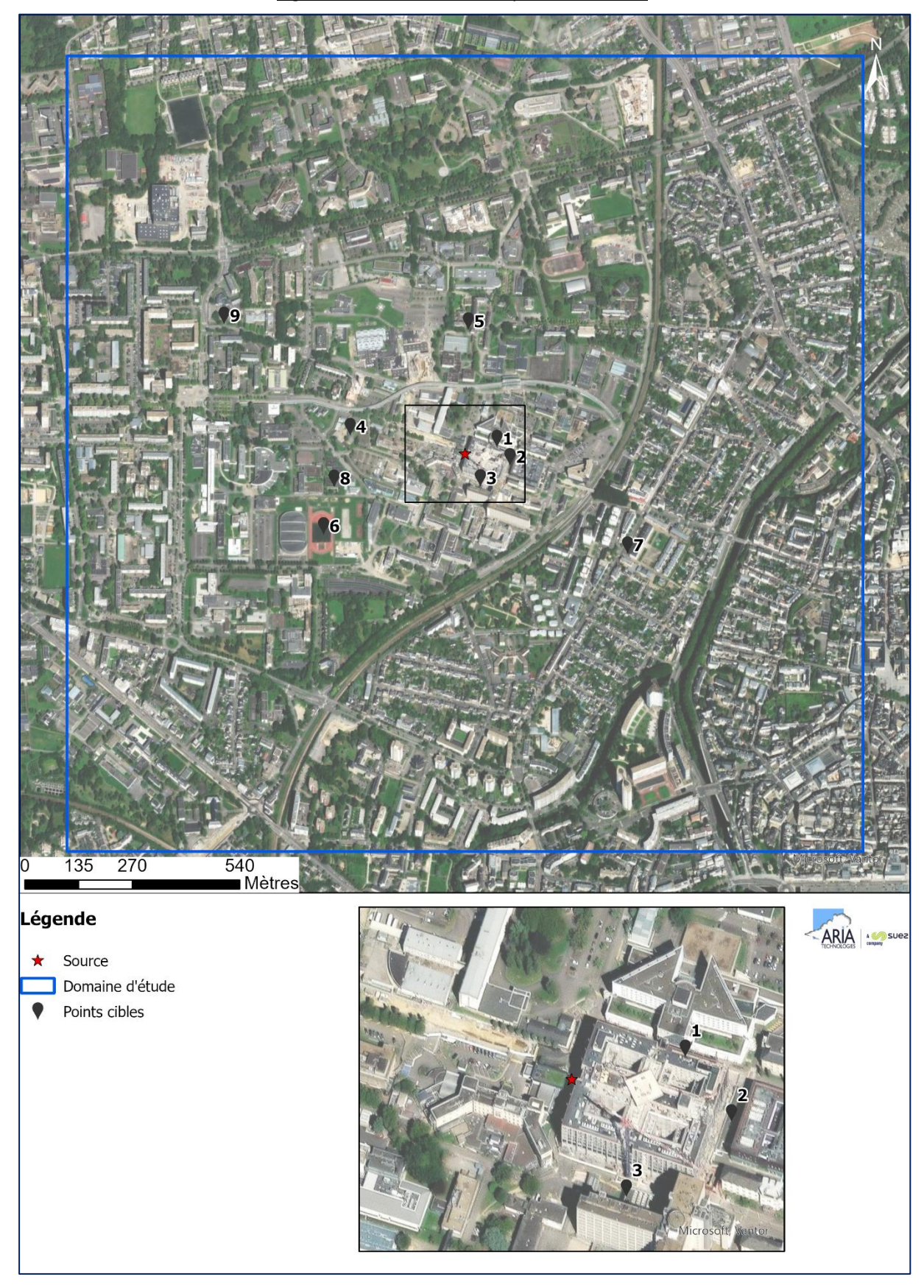


Figure 19 : localisation des points d'intérêt

#### 6.3.3 Concentrations en moyenne annuelle

Le Tableau 7 présente les valeurs calculées en moyenne annuelle en Fluor-18 exprimées en Bq/m³ pour la configuration retenue au niveau des points d'intérêt présentés précédemment (cf. Figure 19) et au niveau de la zone la plus exposée à proximité du site de Curium Pharma. À noter que le point le plus impacté du domaine d'étude se situe sur une zone le long du bâtiment Curium à l'est du site.

Tableau 7: concentrations en moyenne annuelle (Bq/m³)

Points d'intérêt		Concentrations en moyenne annuelle en Fluor-18 (Bq/m³)	
		(64/111)	
1	Centre cardio-pneumologique	0,60	
2	Centre urgences réanimations	0,06	
3	Bloc hôpital	0,47	
4	Crèche du CHU	0,04	
5	Lycée professionnel Coëtlognon	0,06	
6	Siuaps (Cosec Villejean)	0,02	
7	Halte-garderie Croc'Mahon	0,02	
8	Crèche Au Clair de la Lune	0,01	
9	Ecole primaire privée St Jean Bosco	0,01	
	Point le plus exposé à proximité de Curium Pharma	55,96	

La Figure 20 présente la carte de concentration en moyenne annuelle calculées au niveau du sol sur le domaine d'étude pour le Fluor-18. Les aplats colorés montrent les zones où les concentrations au niveau du sol sont comprises entre deux valeurs, par exemple, les zones en « bleu clair » sur la Figure 20 correspondent à des concentrations en Fluor-18 comprises entre 0,02 et 1 Bq/m³. Les cartographies montrent que les concentrations les plus élevées sont situées à moins de 5 mètres le long du bâtiment à l'est du rejet, elles suivent les vents principaux présents sur le site (cf. Figure 7). La concentration maximale est observée dans la rue située à l'est du rejet, ce qui est lié à la présence d'obstacles favorisant l'accumulation du fluor. Les concentrations diminuent rapidement au fur et à mesure que l'on s'éloigne du site.

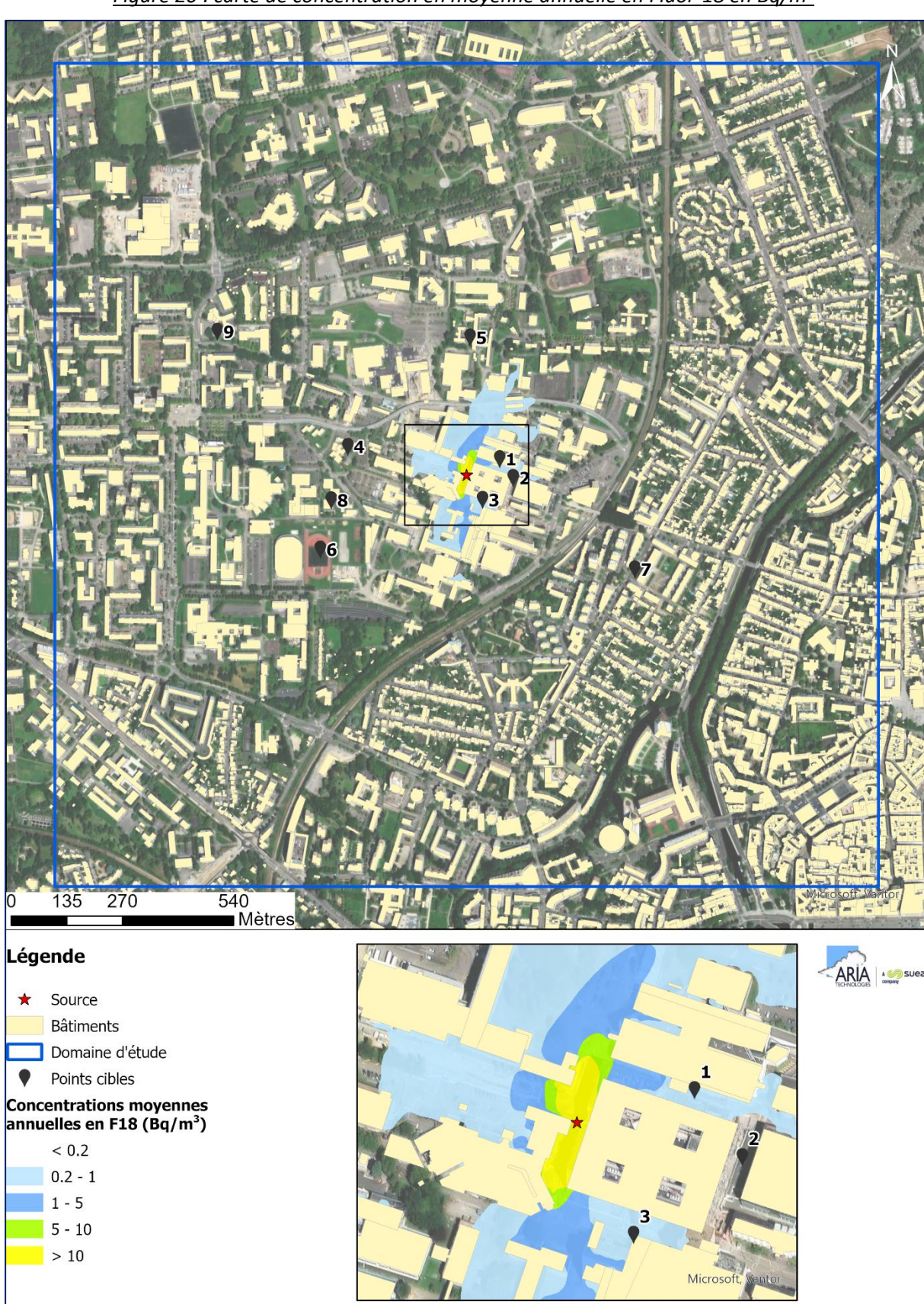
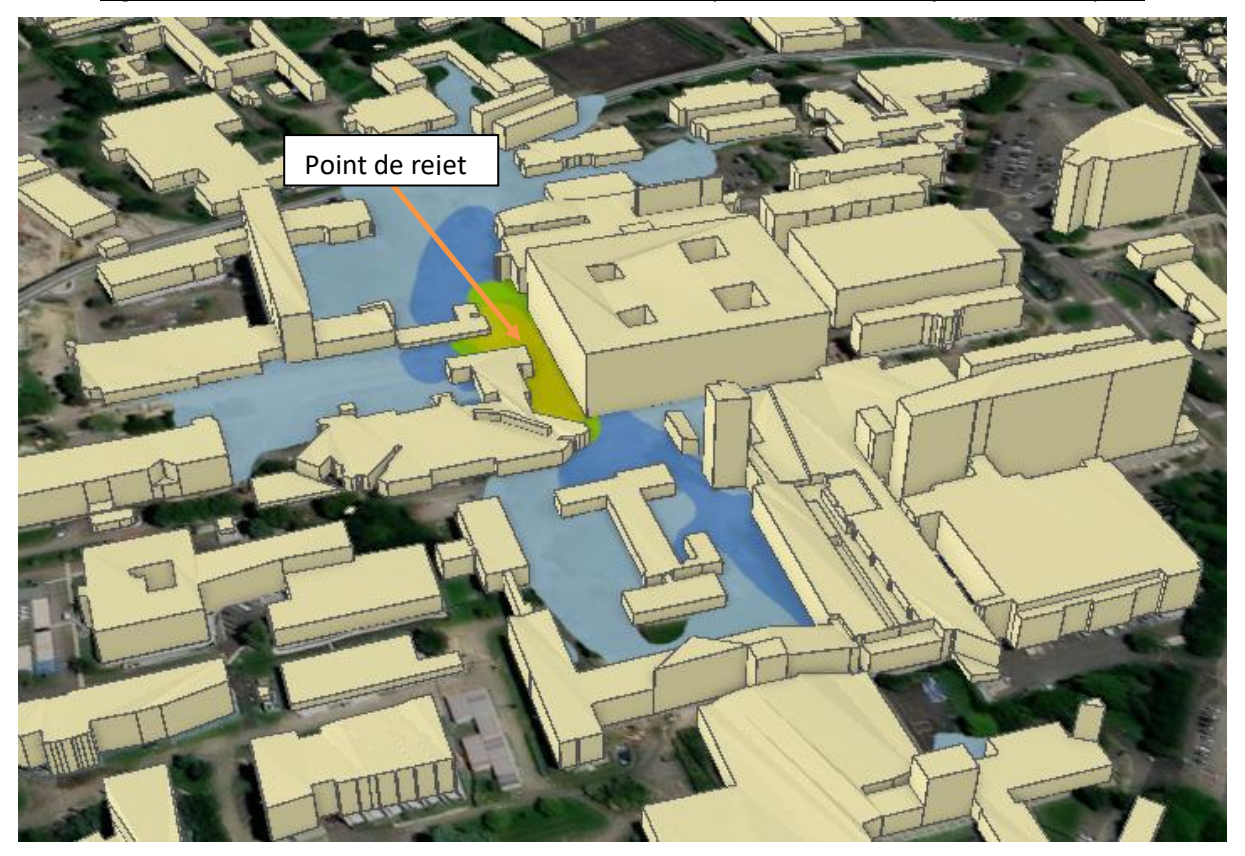
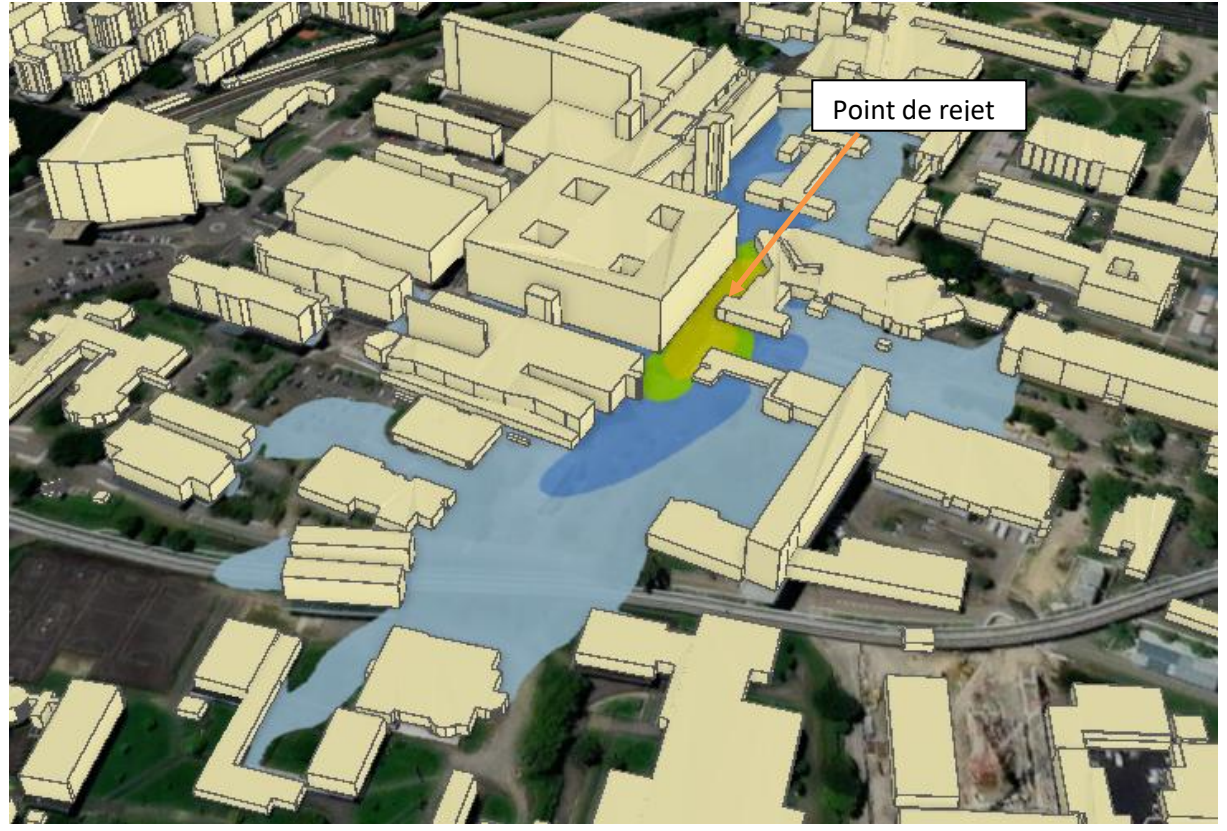


Figure 20 : carte de concentration en moyenne annuelle en Fluor-18 en Bq/m<sup>3</sup>

Figure 21: vues 3D des concentrations au sol en moyenne annuelle en fluor 18 en Bq/m<sup>3</sup>





#### 6.3.4 Dépôts au sol

Le Tableau 8 présente les dépôts en Fluor-18 exprimés en Bq/m²/s et en en Bq/m² au bout d'un an au niveau des points d'intérêt présentés précédemment (cf. Figure 19) et au niveau de la zone la plus exposée à proximité du site de Curium Pharma. À noter que le point le plus impacté du domaine d'étude se situe se situe sur une zone le long du bâtiment Curium à l'est du site.

Les dépôts en Bq/m² au bout d'un an ont été estimés par la formule suivante :

$$A = A_{dep} \times \frac{(1 - e^{-(\lambda_r) \times t})}{\lambda_r}$$

Avec:

A: activité déposée sur le sol sur l'année (Bq.m-2),

A<sub>dep</sub>: activité déposée en moyenne sur le sol (Bq.m<sup>-2</sup>.s<sup>-1</sup>),

 $\lambda_r$ : constante de décroissance radioactive du radionucléide considéré (s<sup>-1</sup>) égale à 1.05E<sup>-04</sup> (correspondant à une période radioactive de 6580 s)

t: temps d'accumulation en s (ici t = 1 an)

Tableau 8 : dépôts totaux au sol moyens annuels

Points d'intérêt		Dépôts au sol moyen annuel en Fluor-18	
		(Bq/m²/s)	Bq/m² au bout d'un an
1	Centre cardio-pneumologique	2,91E-03	27,7
2	Centre urgences réanimations	2,60E-04	2,5
3	Bloc hôpital	2,26E-03	21,5
4	Crèche du CHU	1,66E-04	1,6
5	Lycée professionnel Coëtlognon	3,16E-04	3,0
6	Siuaps (Cosec Villejean)	8,79E-05	0,8
7	Halte-garderie Croc'Mahon	1,21E-04	1,1
8	Crèche Au Clair de la Lune	6,63E-05	0,6
9	Ecole primaire privée St Jean Bosco	3,63E-05	0,3
Point le plus exposé à proximité de Curium Pharma		2,25E-01	2146,8

La Figure 22 présente la carte des dépôts totaux moyens annuels sur le domaine d'étude en Fluor-18 exprimés en Bq/m² au bout d'un an.

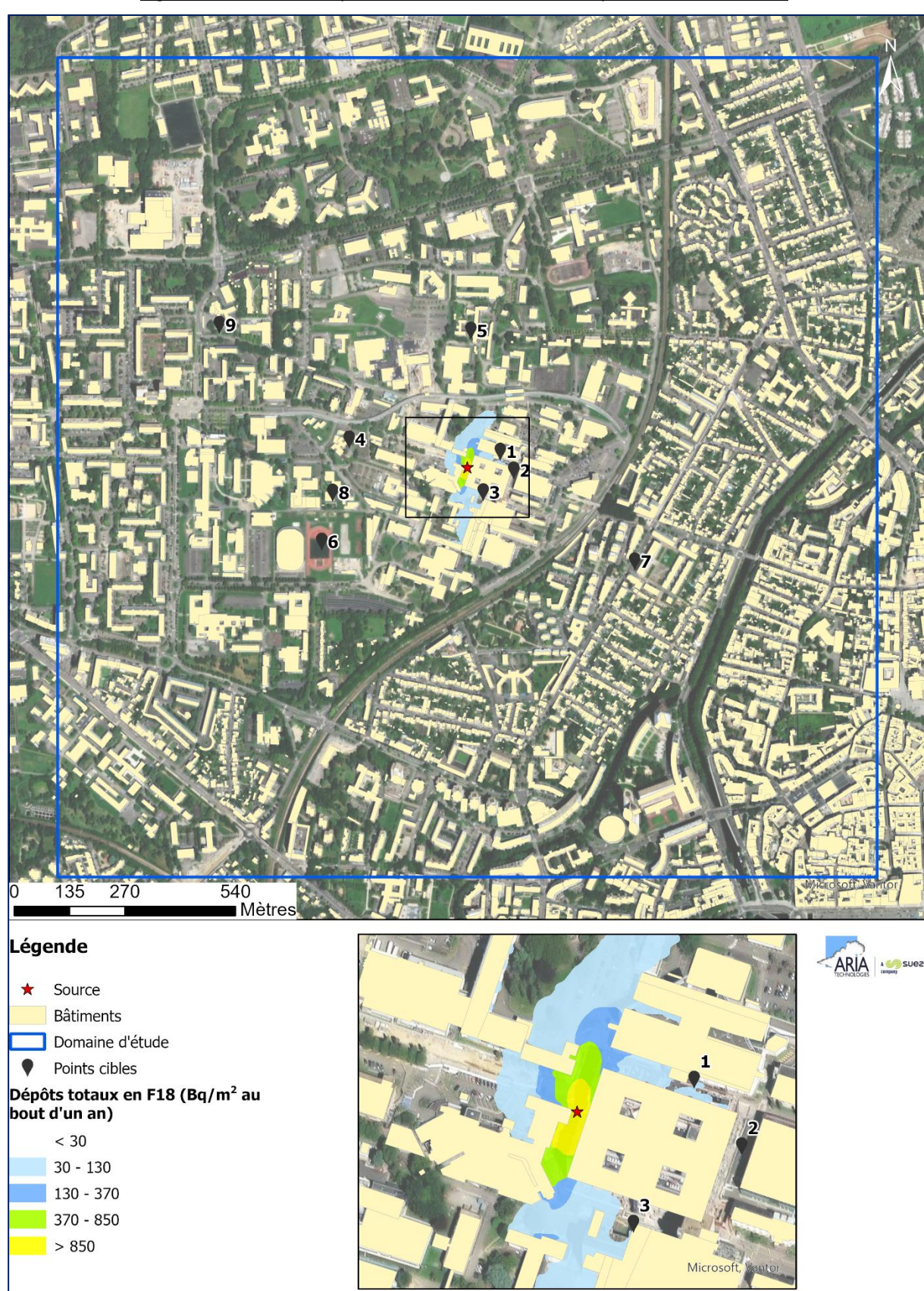
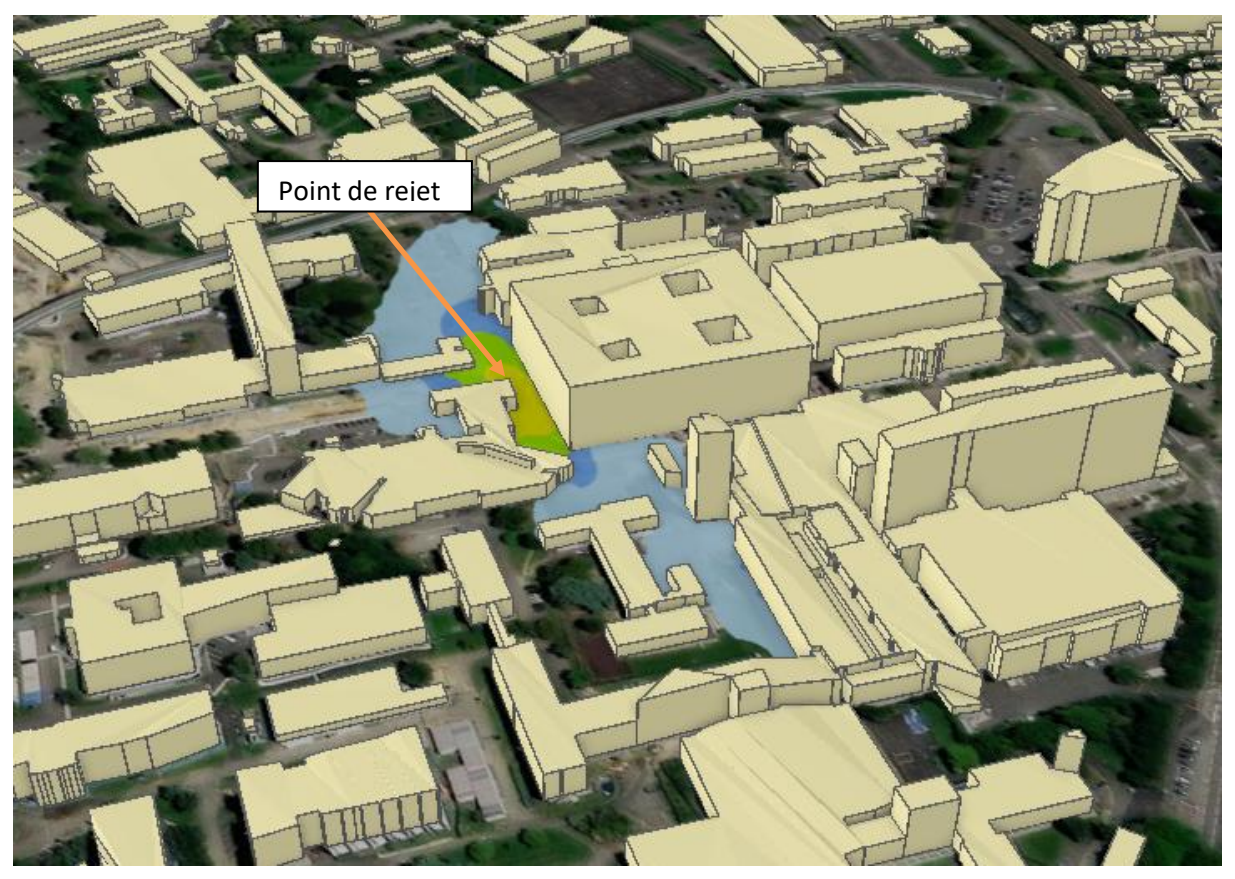
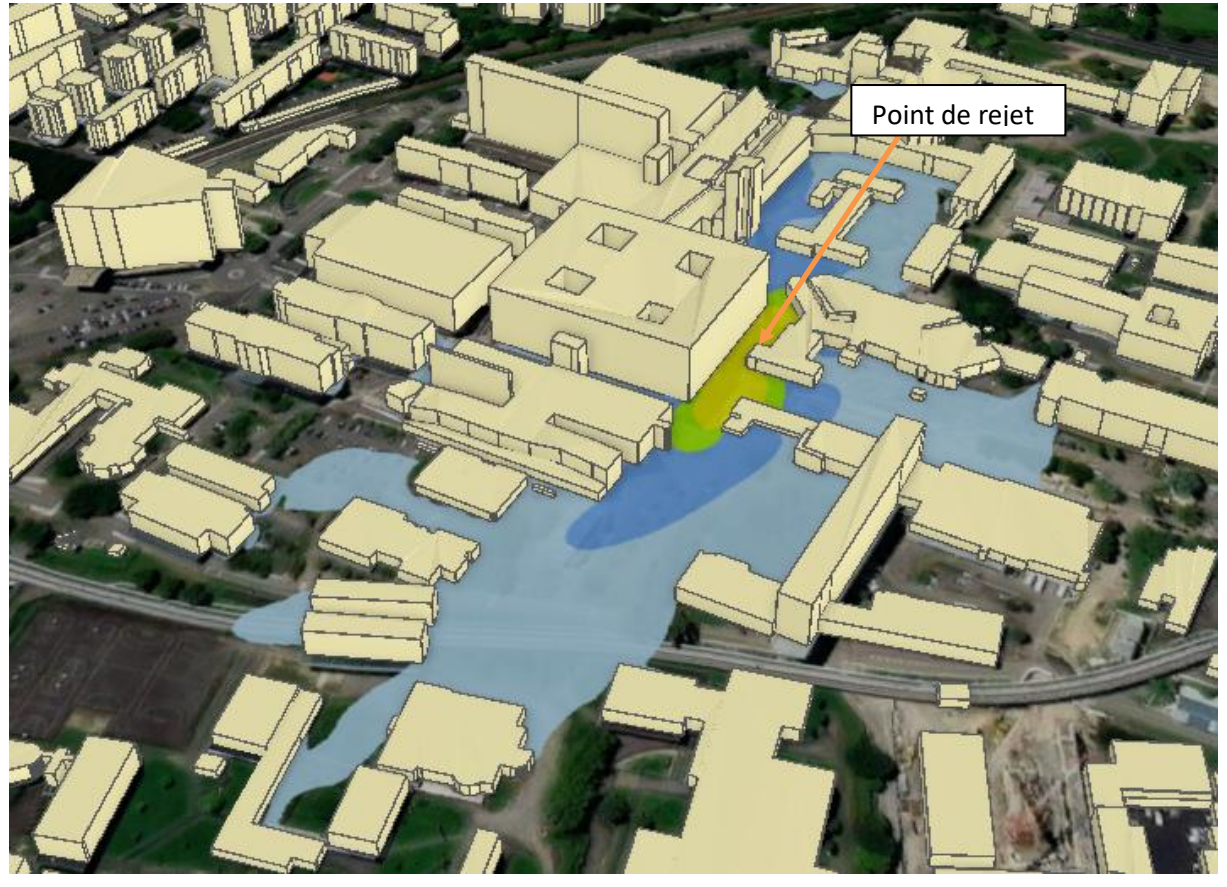


Figure 22 : carte de dépôts totaux en Fluor-18 en Bq/m² au bout d'un an

Figure 23 : carte de dépôts en fluor 18 en Bq/m² au bout d'un an





# 7. EVALUATION DE L'IMPACT SANITAIRE

### 7.1 IDENTIFICATION DES DANGERS

# 7.1.1 Effets sur la santé humaine et exposition des populations

#### 7.1.1.1 Effets sur la santé humaine

Les effets d'un rayonnement ionisant dépendent de sa nature, de la dose absorbée, de l'organe touché. Des doses importantes - qui peuvent être bénéfiques quand elles sont brèves et localisées comme en radiothérapie - provoquent des effets bien identifiés. Suivant la dose reçue et le type de rayonnements, les effets peuvent être plus ou moins néfastes pour la santé.

Ils peuvent être classés en deux catégories :

- Les effets à incidences déterministes ou non stochastiques ;
- Les effets à incidences aléatoires ou stochastiques.

## 7.1.1.1.1 <u>Les effets déterministes</u>

Les effets déterministes se produisent de manière certaine. Pour des doses élevées (supérieures à plusieurs grays), ils sont observés chez tous les sujets exposés. Ce sont donc des effets à seuil.

Ils se déclarent en général de manière précoce, avec des temps de latence compris entre quelques jours et quelques mois. Leur gravité augmente avec la dose absorbée.

Généralement, les effets déterministes se produisent dans le cas d'une exposition unique à fort débit de dose. Ce sont donc souvent dans le cas de situations accidentelles. Ils ne sont pas étudiés dans le cadre de la présente étude.

# 7.1.1.1.2 <u>Les effets à incidences aléatoires ou stochastiques.</u>

Les expositions à des doses plus ou moins élevées de rayonnements ionisants peuvent avoir des effets à long terme sous la forme de cancers ou de mutations génétiques affectant sa descendance. Dans ce cas, la gravité de l'effet demeure identique quelle que soit la dose ; seule la probabilité d'apparition de l'effet est fonction de la dose absorbée. En d'autres termes, le pourcentage de sujets exposés chez qui on observe ce type d'effet augmente avec la dose.

Le temps de latence (temps séparant l'exposition de l'apparition de l'effet) est en moyenne beaucoup plus long que pour les effets déterministes (plusieurs dizaines d'années). Enfin, on considère que la moindre dose de rayonnement est susceptible de provoquer ce type d'effets.

# 7.1.1.2 Exposition des populations

Les radionucléides contenus dans les rejets atmosphériques peuvent atteindre l'homme via l'air, le sol et la chaîne alimentaire. L'exposition d'une personne aux rayonnements ionisants peut exister sous deux formes différentes :

- Une exposition externe lorsque la source est à l'extérieur de l'organisme ;
- Une **exposition interne** lorsque la source de rayonnement est absorbée à l'intérieur de l'organisme.

Les voies de contamination possibles sont les suivantes :

- L'exposition pendant le passage du panache, qui conduit à une exposition externe par irradiation et à une exposition interne par inhalation ;
- L'exposition externe due aux dépôts sur le sol;
- L'exposition interne par ingestion de produits d'origine végétale cultivés sur des zones de dépôts; l'activité transférée par cette voie d'exposition provient des dépôts d'aérosols lors du passage du panache et de la pluie sur les végétaux, ainsi que des transferts racinaires depuis les dépôts sur le sol;
- L'exposition interne par ingestion de produits d'origine animale provenant d'élevages qui ont consommé des produits issus des zones de dépôt.

L'eau de boisson et le poisson ne sont pas considérés comme des vecteurs de transfert des radionucléides émis dans l'atmosphère.

# 7.1.2 Relation Dose-Réponse

Il n'existe pas de Valeur Toxicologique de Référence (VTR) pour l'exposition aux rayonnements.

La réglementation nationale de la santé publique et du travail fixe, pour le public et les travailleurs, des limites de doses individuelles annuelles cumulées admissibles. Pour le public, la limite de la dose efficace est fixée à 1 mSv/an. Pour les travailleurs, cette limite est fixée à 20 mSv/an.

L'évaluation des risques se fait en comparant l'exposition des personnes exposées vis-à-vis de la limite pour le public de **1 mSv par an**.

# 7.2 SCHEMA CONCEPTUEL D'EXPOSITION

# 7.2.1 Voies d'exposition

L'exposition des personnes vivant au voisinage d'une installation émettrice de substances radioactives dans l'atmosphère peut se produire :

- Pendant le passage du panache
  - => exposition externe par irradiation et par passage cutané
  - => exposition interne par inhalation
- Par les dépôts sur le sol
  - => exposition externe par irradiation
- <u>Par la consommation des végétaux exposés</u> aux dépôts d'aérosols lors du passage du panache et de la pluie sur les végétaux, ainsi que les transferts racinaires depuis les dépôts sur le sol
  - => exposition interne par ingestion
- <u>Par la consommation de produits d'origine animale</u> provenant d'élevages qui ont consommé des produits issus des zones de dépôt
  - => exposition interne par ingestion

L'eau de boisson et le poisson ne sont pas considérés comme des vecteurs de transfert des radionucléides émis dans l'atmosphère.

# 7.2.2 Schéma conceptuel d'exposition

Le Fluor-18 présente une période radioactive courte (moins de 2 heures): <u>les phénomènes</u> d'accumulation dans l'environnement et de transfert dans la chaîne alimentaire peuvent donc être <u>considérés comme non significatifs</u>. Par ailleurs, il n'existe pas de facteur de transfert dans les produits animaux pour le Fluor-18. L'exposition par consommation des végétaux et des produits animaux (exposition interne par ingestion) ne sera donc pas retenue dans la présente étude.

## Les voies d'exposition retenues sont donc :

- L'exposition externe par irradiation (exposition externe au panache et aux dépôts);
- L'exposition interne par inhalation.

Le Schéma Conceptuel d'Exposition autour du site est présenté sur la Figure 24.

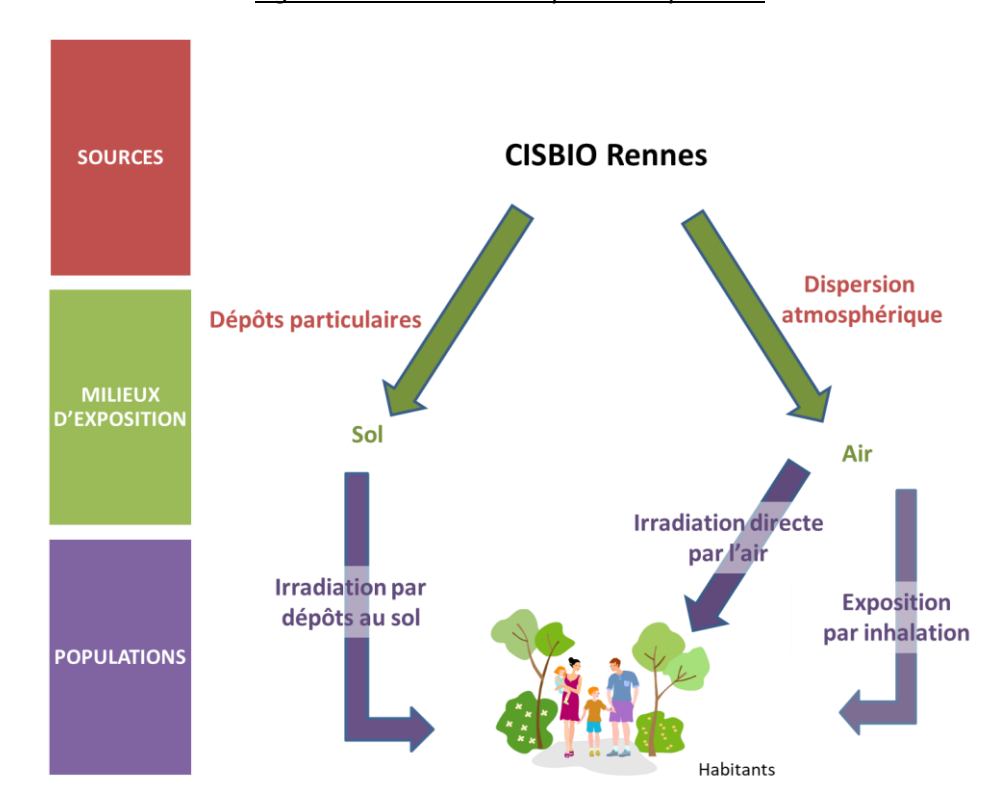


Figure 24 : schéma conceptuel d'exposition

# 7.3 ESTIMATION DES DOSES D'EXPOSITION

# Les voies d'exposition retenues sont :

- L'exposition externe par irradiation (exposition externe au panache et aux dépôts);
- L'exposition interne par inhalation.

# 7.3.1 Scénarios d'exposition

L'impact radiologique du site est calculé pour le scénario présenté dans le Tableau 9. Seul ce scénario correspondant à la zone la plus exposée a été étudié dans cette étude, car il représente le scénario d'exposition le plus défavorable.

Tableau 9 : scénarios retenus

SCENARIO	Zone la plus exposée		
Typologie	Zone la plus exposée en dehors du site		
Individu	Adulte (17 ans et plus) Enfant (représentatif de la tranche 7 à 12 ans) Bébé (enfant de 1 à 2 ans)		
Durée d'exposition	<b>8 760 h/an</b> (toute l'année) au niveau de la zone la plus exposée (point MAX le plus exposé pour les concentrations et pour les dépôts au sol)		
Voies d'exposition	Irradiation (panache et dépôts) & Inhalation		

A noter qu'il n'est pas tenu compte de la protection apportée par les habitations vis-à-vis de l'exposition externe par le panache.

Pour l'exposition externe par les dépôts, l'accumulation des dépôts est intégrée classiquement sur un an, et également sur la vie entière (50 ans pour les adultes, et 70 ans pour les enfants quel que soit leur âge). Vue la période du fluor-18 (< 2 heures), les impacts après 1 an, 50 et 70 ans de fonctionnement sont identiques. Seuls les résultats après 1 an d'exposition sont donc présentés dans la suite du document.

# 7.3.2 Exposition externe (exposition par irradiation)

## 7.3.2.1 Méthodologie

L'irradiation a lieu:

- Par exposition au panache;
- Par exposition aux dépôts.

## 7.3.2.1.1 Exposition externe au panache

La dose efficace annuelle due à l'exposition externe au panache est donnée par :

$$E_{pan} = A_{air} \times CD_{pan} \times F_{tp} \times t$$

Avec:

*Epan*: dose efficace annuelle due au panache (Sv.an<sup>-1</sup>);

Aair: concentration dans l'air (Bq.m-3);

CDpan: coefficient de dose efficace externe au panache (Sv. s<sup>-1</sup>)/(Bq.m<sup>-3</sup>));

Ftp: fraction annuelle de temps où l'individu est immergé dans le panache (s.d.);

t : durée d'exposition (en secondes).

# 7.3.2.1.2 Exposition externe aux dépôts

La dose efficace annuelle due à l'exposition externe aux dépôts est donnée par :

$$E_{dep} = A_{dep} \times \frac{(1 - e^{-(\lambda_{m} + \lambda_{r}) \times t})}{\lambda_{r}} \times CD_{dep} \times F_{tp} \times t$$

Avec:

 $E_{dep}$ : dose efficace annuelle due au dépôt (Sv.an<sup>-1</sup>);

A<sub>dep</sub>: activité déposée sur le sol (Bq.m<sup>-2</sup>.s<sup>-1</sup>);

CD<sub>dep</sub>: coefficient de dose efficace externe au dépôt (Sv.s<sup>-1</sup> / Bq.m<sup>-2</sup>);

 $F_{tp}$ : fraction annuelle de temps où l'individu est soumis à l'exposition externe au dépôt (s.d.);

t : durée d'exposition (en secondes) ;

 $\lambda_{\rm r}$ : constante de décroissance radioactive du radionucléide considéré (s<sup>-1</sup>);

 $\lambda_{\rm m}$ : constante de décroissance par migration dans le sol du radionucléide considéré (s<sup>-1</sup>).

En général, la valeur par défaut de la constante de décroissance par migration dans le sol correspond à une période de 100 ans (CCE, 1995) ; elle a été négligée dans cette étude. La formule se simplifie donc de la manière suivante :

$$E_{\text{dep}} = A_{\text{dep}} \times \frac{(1 - e^{-\lambda_t \times t})}{\lambda_t} \times CD_{\text{dep}} \times F_{\text{tp}} \times t$$

5,55E-14

7,90E-16

1,05E-04

5,01E-14

7,02E-16

4,40E-14

6,49E-16

## 7.3.2.2 Hypothèses

En l'absence de données dans l'arrêté du 16 novembre 2023, les valeurs des coefficients de dose efficace externe au panache sont issues du Federal Guidance 15 (FGR 15, 1999) et sont présentées dans le Tableau 10.

Paramètres	Unités	Adulte	Enfant âgé de 10 ans	Enfant âgé de 1 à 2 ans
Période radioactive	secondes		6 590	

 $((Sv/s)/(Bq/m^3))$ 

 $((Sv/s)/(Bq/m^2))$ 

Tableau 10 : coefficients de dose utilisés pour l'exposition externe

Il n'est pas tenu compte de la protection apportée par les habitations vis-à-vis de cette voie d'exposition.

# 7.3.2.3 Calcul de la dose d'exposition externe

Constante de décroissance radioactive ( $\lambda_r$ )

Irradiation panache ( $CD_{pan}$ )

Irradiation dépôt (CD<sub>dep</sub>)

Le Tableau 11 présente les doses d'exposition par irradiation (panache + dépôts) pour le scénario étudié.

Rappelons que, compte-tenu des périodes radioactives du Fluor-18 (< 24 heures), les impacts après 1 an, 50 et 70 ans de fonctionnement sont identiques. Seuls les résultats après 1 an d'exposition sont donc présentés.

Tableau 11 : doses d'exposition par irradiation (panache + dépôts)

Groupe de référence	Typologie	Cible	Dose externe (irradiation panache) mSv/an	Dose externe (irradiation dépôts) mSv/an	Dose externe totale par irradiation mSv/an
Point le plus	Point le plus exposé en dehors du site	Adulte	7,8E-02	4,4E-02	1,2E-01
		Enfant	8,8E-02	4,7E-02	1,4E-01
		Bébé	1,7E-01	9,1E-02	2,6E-01

# 7.3.3 Exposition interne par inhalation

Cette voie d'exposition résulte de l'activité inhalée.

# 7.3.3.1 Méthodologie

La dose efficace annuelle due à l'inhalation est obtenue selon la formule suivante :

$$E_{inh} = A_{air} \times D_{resp} \times CD_{inh} \times F_{tp} \times t$$

Avec:

Einh: dose efficace annuelle par inhalation (Sv.an-1);

Aair: concentration dans l'air (Bq.m-3);

*Dresp*: débit respiratoire de l'individu (m³.h-¹);

*CDinh*: coefficient de dose efficace par inhalation (Sv.Bq<sup>-1</sup>);

Ftp: fraction annuelle de temps où l'individu est soumis à l'exposition interne par inhalation

(s.d.);

t : durée d'exposition (en heures).

# 7.3.3.2 Hypothèses

Pour les doses efficaces internes par inhalation, les coefficients de dose utilisés proviennent de l'arrêté du 16 novembre 2023. Ces coefficients de dose correspondent à un diamètre de particules de  $1\,\mu m$ .

Les débits respiratoires considérés sont calculés à partir des volumes d'air inhalés quotidiennement indiqués dans la CIPR  $66^{10}$ .

Cibles	Volumes d'air inhalés en m³/h ( <i>D<sub>resp</sub>)</i>	Coefficient de dose efficace en Sv.Bq <sup>-1</sup> ( <i>CD<sub>inh</sub></i> )
Adulte	0,92	5,90E-11
Enfant âgé de 10 ans	0,64	1,00E-10
Enfant âgé de 1 à 2 ans	0,22	3,10E-10
Travailleur	0,95	5,90E-11

Tableau 12 : volumes d'air inhalés

Rappelons qu'il n'est pas tenu compte de la protection apportée par les habitations vis-à-vis de cette voie d'exposition.

<sup>&</sup>lt;sup>10</sup> Human Respiratory Tract Model for Radiological Protection, ICRP Publication 66, Ann. ICRP 24 (1-3), 1994.

# 7.3.3.3 Calcul de la dose d'exposition interne

Le Tableau 13 présente les doses d'exposition par inhalation pour le scénario étudié.

<u>Tableau 13 : doses d'exposition interne par inhalation</u>

Groupe de référence	Typologie	Cible	Dose d'exposition par inhalation (mSv/an)
Point le plus exposé	Point le plus exposé en dehors du site	Adulte	2,7E-02
		Enfant	3,1E-02
		Bébé	3,3E-02

# 7.4 ÉVALUATION DES RISQUES

# 7.4.1 Méthodologie

Il n'existe pas de Valeur Toxicologique de Référence (VTR) pour l'exposition aux rayonnements. L'évaluation des risques se fait en comparant l'exposition des personnes exposées vis-à-vis de la limite pour le public de 1 mSv par an.

L'objectif de l'évaluation de l'impact de rejets de substances radioactives en fonctionnement normal est de situer l'impact ajouté vis-à-vis de la limite réglementaire d'exposition pour le public (1 mSv/an). Cet impact ajouté pour le public est comparé à la dose moyenne annuelle en France (4,5 mSv/an).

# 7.4.2 Évaluation des risques sanitaires

Le Tableau 14 présente les doses efficaces d'exposition pour le scénario étudié.

Tableau 14: doses efficace totale (mSv/an)

Groupe de référence	Typologie	Cible	Dose externe totale par irradiation (mSv/an)	Dose d'exposition par inhalation (mSv/an)	Dose totale annuelle (mSv/an)	Dose efficace admissible en France (mSv/an)	Dose efficace moyenne annuelle en France (mSv/an)
	Point le plus	Adulte	1,2E-01	2,7E-02	1,5E-01		
Point le plus exposé en dehors du site	Enfant	1,4E-01	3,1E-02	1,7E-01	1	4,5*	
		Bébé	2,6E-01	3,3E-02	2,9E-01		

<sup>\*2,9</sup> mSv d'origine naturelle et 1,6 mSv d'origine artificielle

La Figure 25 représente la synthèse des doses efficaces totales en regard de la dose efficace admissible de 1 mSv/an.

L'impact sanitaire est essentiellement dû à l'exposition externe par irradiation (lors du passage du panache et à l'irradiation par les dépôts). En effet, la dose externe représente en moyenne 84% de la dose efficace totale.

Quel que soit le scénario étudié et le profil (enfant de 1 à 2 ans, enfant de 10 ans ou adulte), la dose efficace totale due aux émissions en radioéléments émis par l'installation est très faible vis-à-vis de la dose admissible en France. En effet, la dose efficace totale maximale représente 29% de la dose admissible pour la dose efficace la plus élevée pour le scénario étudié (profil enfant de 1 à 2 ans).

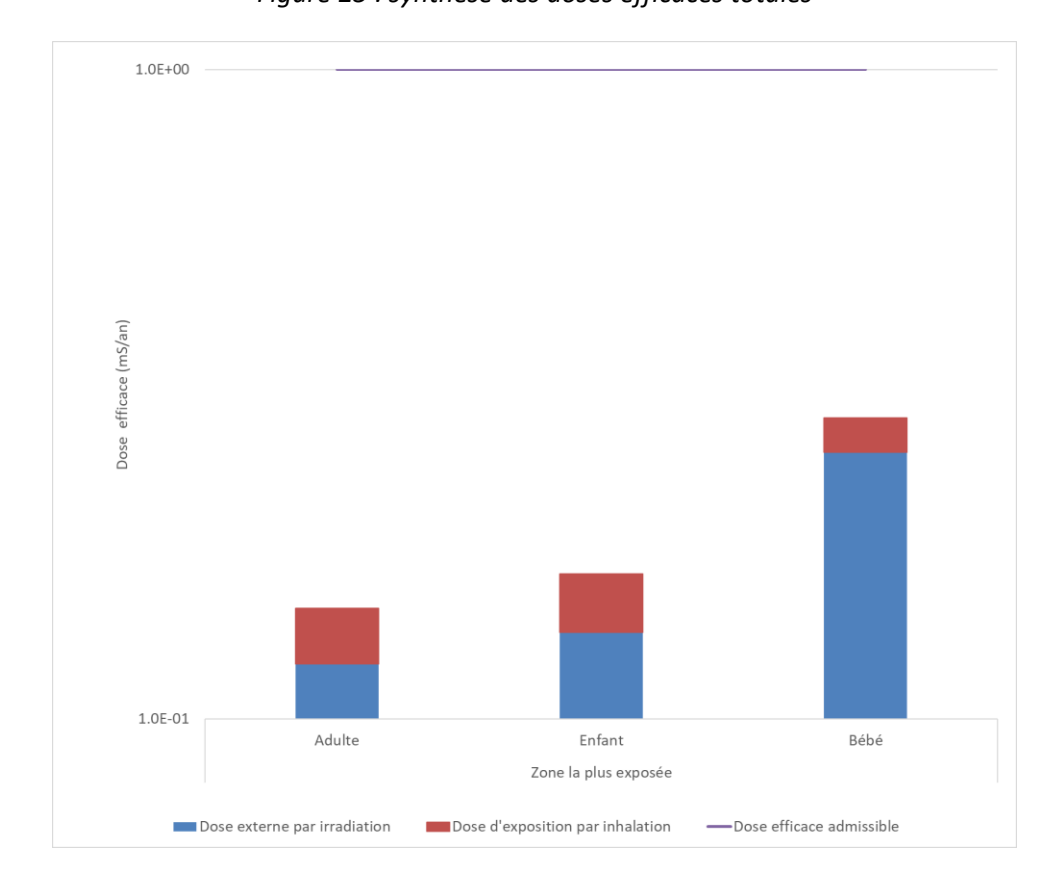


Figure 25 : synthèse des doses efficaces totales

En conclusion, quels que soient le scénario et le profil étudié (enfant de 1 à 2 ans, enfant de 10 ans ou adulte), la dose efficace totale due aux émissions de radionucléides de la cheminée du site de Curium Pharma en fonctionnement normal est très faible vis-à-vis de la dose admissible en France.

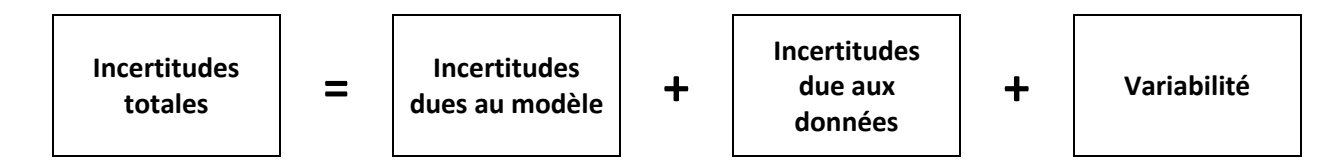
# 8. INCERTITUDES

Ce chapitre a pour objectif d'inventorier les incertitudes liées à la démarche d'évaluation des risques sanitaires ou aux hypothèses retenues dans les différentes étapes.

Les incertitudes sont classées en fonction de l'influence qu'elles peuvent avoir sur les résultats d'évaluation des risques sanitaires, chaque fois que cette précision peut être apportée.

# **8.1** INCERTITUDES RELATIVES A LA MODELISATION ATMOSPHERIQUE

Les incertitudes liées à la modélisation de pollution de l'air ont été définies (Morgan M.G, 1990) comme étant le cumul, au prorata de leurs contributions, des incertitudes des différentes données nécessaires au fonctionnement du modèle et au modèle lui-même. Ces incertitudes peuvent être résumées par l'équation ci-dessous :



Pour d'autres auteurs, elles ont pour origine trois sources majeures (Hanna, 2004) en ce qui concerne la modélisation de la qualité de l'air :

- La variabilité des résultats due aux fluctuations naturelles de la concentration dans l'atmosphère (turbulence aléatoire). Ce type d'incertitude sera présent dans n'importe quel modèle prenant en compte des phénomènes météorologiques ;
- Les erreurs sur les données d'entrées : émissions, données sur les instruments de mesures ou manque de représentativité des instruments de mesures par exemple ;
- Les erreurs dues à la représentation de la physique dans les modèles soit dues à des erreurs de formulation soit dues à des incertitudes dans les paramètres utilisés dans les formulations.

# 8.1.1 Incertitudes liées au modèle : validation du modèle MSS

Concernant MSS, des validations ont été réalisées à l'aide de campagnes de mesures effectuées en soufflerie et en milieu urbain réel. Certains de ces cas de validation sont présentés ci-dessous :

- Le projet EMU est une simulation de l'émission de scalaires passifs en atmosphère neutre, réalisée au laboratoire EnFlo de l'Université anglaise de Surrey. Il est constitué de plusieurs expériences (formes et nombre de bâtiments divers, données météorologiques et d'émission distinctes);
- URBAN 2000 fut une campagne de mesures menée par des chercheurs américains à Salt Lake City en octobre 2000. Le Département de l'Energie (US-DOE), le DOD, la DTRA, et des laboratoires gouvernementaux anglais et américains se sont réunis afin de mener à bien ce gigantesque projet. L'ensemble des données et des résultats est accessible sur http://urban.llnl.gov/;
- La campagne MUST a également été financée par la DTRA. Elle constitue une expérience intermédiaire entre la soufflerie et un terrain urbain réel puisque les bâtiments ont été simulés par des containers.

Figure 26 : lignes de courant et concentration en SF6 à 4h10, 4h20 et 4h30

MSS a obtenu de bonnes performances dans le cadre de plusieurs campagnes de mesures in situ, ce qui est un gage de qualité.

# 8.1.2 Incertitudes liées aux données d'entrée

Les données d'entrées du modèle sont de trois natures :

- Les émissions ;
- La météorologie;
- Les paramètres du modèle choisis.

#### 8.1.2.1 Incertitudes liées aux émissions

La concentration calculée par le modèle à une échéance donnée est directement proportionnelle aux flux émis par l'installation pour chaque polluant. Les approximations faites au niveau des émissions ont donc un impact direct sur les concentrations et dépôts calculés.

# 8.1.2.2 Incertitudes liées aux mesures météorologiques

Les données météorologiques sont issues des stations météorologiques de Météo-France. Elles proviennent des mesures au niveau de la station météorologique de Rennes pour les données de direction et vitesse du vent, de température, de précipitations et de couverture nuageuse.

Compte-tenu de la présence d'obstacles importants à proximité du point de rejet, une reconstitution tridimensionnelle de l'écoulement du vent a été réalisée afin de bien prendre en compte l'influence des obstacles sur la dispersion du panache.

Les précisions des mesures de vent d'un dixième m/s et celle de la température d'un dixième de degré Celsius sont largement suffisantes compte-tenu de leur intervention dans les équations.

Les données de nébulosité sont exprimées en octas. Elles sont issues d'une observation « manuelle » de l'opérateur Météo-France.

Les mesures des stations Météo-France sont des données surface. La modélisation 3D extrapole la donnée verticalement en utilisant un modèle mathématique théorique.

# 8.1.2.3 Incertitudes liées aux paramètres du modèle

Dans les modèles complexes prenant en compte de façon fine les géométries et ayant des paramétrisations fines des phénomènes physiques, l'incertitude liée au choix de l'utilisateur des paramètres du modèle, (options de calculs, génération du maillage, etc.) peut être grande. Des études ont montré qu'à données identiques, le même modèle mis en œuvre par deux équipes différentes pouvait conduire à des résultats présentant des écarts importants.

Concernant les paramètres liés aux polluants (vitesse de dépôt, coefficient de lessivage, type particulaire ou non), ces paramètres sont issus de l'état de l'art actuel des connaissances.

# 8.2 INCERTITUDES RELATIVES A L'EVALUATION DES RISQUES SANITAIRES

# 8.2.1 Facteurs de surestimation des risques

La méthodologie pour estimer les risques sanitaires potentiels emploient par nature les principes de précaution et sont par défaut conservatrices.

# Durée d'exposition

Elle dépend du scénario étudié:

 Pour la population générale, en absence de données sur le temps d'exposition des personnes, il est pris l'hypothèse qu'elles séjournent sur leur lieu d'habitation en permanence (365 j/an, 7j/7, 24h/24). Cette hypothèse est majorante puisque les personnes ne seront pas exposées en permanence car elles sont amenées à se déplacer pour des raisons personnelles (congés, loisirs) et professionnelles.

# Pénétration des polluants dans les habitats

Il est posé l'hypothèse que les polluants ont un taux de pénétration dans les habitats de 100%, ce qui est une hypothèse majorante.

# 8.2.2 Facteurs dont le sens d'influence sur les résultats n'est pas connu ou est variable

# Constance des paramètres

Toutes les données utilisées (émissions, dispersion, transferts, exposition) sont supposées rester constantes pendant les années d'exposition futures étudiées.

# 9. CONCLUSION

En 2020, SUEZ Aria Technologies a réalisé une étude d'impact radiologique liée au fluor-18 émis sur le site de Rennes (35)<sup>11</sup>.

Ce site, exploité par Curium Pharma, est implanté au sein du Centre Hospitalier Universitaire (CHU) de Rennes. Or, le CHU prévoit prochainement de déménager, entrainant d'importantes transformations sur le site actuel. Parmi les projets envisagés figure la construction d'un bâtiment à proximité immédiate des installations de Curium Pharma. Dans ce contexte, l'ASRN demande de vérifier l'impact de ce futur bâtiment sur la dispersion du Fluor-18.

La société Curium Pharma a demandé à SUEZ Aria Technologies de réaliser la mise à jour de l'impact des rejets atmosphériques en Fluor-18 sur la santé des populations pour le site de Rennes en fonctionnement normal.

Dans ce contexte, SUEZ Aria Technologies a réalisé une étude de dispersion intégrant le nouveau bâtiment du CHU et une estimation des doses d'expositions afin d'estimer l'impact des rejets atmosphériques du Fluor-18 sur les travailleurs et riverains présents autour du site.

Compte-tenu des propriétés du Fluor-18, les voies d'exposition retenues sont :

- L'exposition externe par irradiation (exposition externe au panache et aux dépôts);
- L'exposition interne par inhalation.

Compte tenu des enjeux autour du site, un scénario d'exposition majorant a été étudié en prenant en compte la zone la plus exposé en dehors du site avec une exposition en continu sur l'année.

Pour les profils les plus sensibles, les doses efficaces annuelles totales restent largement inférieures à la limite réglementaire admissible en France. Par exemple, la dose totale annuelle pour un enfant est de 0,17 mSv et pour un bébé de 0,29 mSv, alors que la dose efficace admissible en France s'élève à 1 mSv par an. L'impact sanitaire est essentiellement dû à l'exposition externe par irradiation (lors du passage du panache et à l'irradiation par les dépôts). En effet, la dose externe représente en moyenne 84 % de la dose efficace totale.

Quel que soit le scénario étudié et le profil (bébé, enfant ou adulte), la dose efficace totale due aux émissions en radioéléments émis par l'installation est très faible vis-à-vis de la dose admissible en France. En effet, la dose efficace totale maximale représente 29 % de la dose admissible pour la dose efficace la plus élevée, pour le scénario étudié (profil enfant de 1 à 2 ans).

En conclusion, quels que soient le scénario et le profil étudié, la dose efficace totale due aux émissions de radionucléides de la cheminée du site de Curium Pharma en fonctionnement normal est très faible vis-à-vis de la dose admissible en France.

9 - Conclusion

<sup>&</sup>lt;sup>11</sup> Rapport ARIA Technologies, ARIA 2020.008\_V2 – CISBIO - Etude de dispersion et Evaluation des risques sanitaires liés au fluor 18

# **ANNEXE**

ANNEXE SUEZ Aria Technologies page 51 sur 66

# Annexe 1 : Liste des populations sensibles et des équipements sportifs dans le domaine d'étude

Commune	Type d'établissement	Dénomination		
		Crèche Collective CHU Pontchaillou RENNES		
		Crèche Collective Conseil Général RENNES		
		Crèche Collective Municipale Tannou La Touche RENNES		
		Crèche Familiale Municipale Tannou La Touche RENNES		
	Crèches et haltes-garderies	Crèche Parentale Melba RENNES		
		Halte-Garderie Collective Villejean ARCS RENNES		
		Halte-garderie CROC'MAHON		
		Crèche Au Clair de la Lune		
		Laep Recreation - Cs De Villejean		
		Ecole élémentaire publique Joseph Lotte		
		Ecole maternelle publique Joseph Lotte		
		Ecole maternelle publique Jean Moulin		
		Ecole élémentaire publique Jean Moulin		
		Ecole primaire privée Marcel Callo		
	Ecoles - Collèges - Lycées	Ecole primaire privée Ste Marie		
	Looies coneges Lycees	Ecole primaire privée St Jean Bosco		
		Ecole maternelle publique Ille		
		Ecole élémentaire publique Ille		
		Collège Echange		
		Lycée professionnel Coetlogon		
		Lycée général et technologique Victor et Hélène Basch		
		CHRU Rennes site Pontchaillou		
		ERP Jean Janvier		
		C.R.I.C.C. Eugene Marquis		
		Résidence Saint Cyr		
		Résidence fjt Saint-Joseph Préville		
Rennes		Résidence habitat jeunes Robert Reme		
		Résid. Habitat jeunes bourg l'eveque		
		Hop de jour cmp cattp cpea Villejean		
		Terrain accueil gens du voyage		
		CHRU rennes site ecole R.Desnos		
		Cmp cattp Louis d'Or Rennes		
		Ehpad stv rennes  Les maisons de la touche		
		Résidence mille visages		
	Etablissements sanitaires et	Accueil de jour rennes		
	sociaux	L'essor foyer le six		
	Jociaan	Résidence accueil "Simone De Beauvoir"		
		Gcs irc et siège		
		Centre départemental de PMI		
		Gcs institut rennais thorax-vaisseaux		
		Gcs irc site ponchaillou		
		Centre d'accueil d'urgence l'abri		
		Gcs capps bretagne et siège		
		Résidence rémy priolet		
		Le patio saint-martin		
		Résidence Coëtlogon		
		Résidence habitat jeunes Triskell		
		Pension de famille Marie Heurtaut		
		Unite d'investigation clinique du cir		
		MAH les Ajoncs		
		Complexe Sportif de la Harpe/Beauregard (Terrain de		
	Equipements sportifs extérieurs	Rugby)		
		Complexe Sportif de la Harpe/Beauregard (Terrain de Foot		

•	•	•	-	
Fonctionnement Normal				2025

Commune	Type d'établissement	Dénomination
		Stabilisé)
		Complexe Sportif Ile de France (Plateau Eps)
	Complexe Sportif Ile de France (Stade d'Athlétism	
		Gymnase Scolaire de Kennedy (Ligne de Sprint)
	Gymnase Scolaire de Kennedy (Mini Basket)	
		Gymnase Scolaire de Kennedy (Plateau de Handball)
		Gymnase Scolaire de l'Ille (Plateau de Basket)
	Gymnase Scolaire Jean Moulin (Plateau de Handball)	
		Siuaps (Cosec Villejean) (Piste d'Athlétisme)
		Siuaps (Cosec Villejean) (Terrain de Football)
		Siuaps (Cosec Villejean) (Terrain de Football Annexe)
		Ponton St Martin Amont

ANNEXE SUEZ Aria Technologies page 54 sur 66

# **Annexe 2: Description du logiciel MSS**

ANNEXE SUEZ Aria Technologies page 55 sur 66

# Descriptif du modèle Micro SWIFT

#### 1. Le domaine

Le domaine horizontal est un rectangle (Lx, Ly) dans le système de projection plane choisi (ex.: Lambert, UTM). Les dimensions Lx et Ly varient de 500 m à 500 km.

Le domaine vertical est défini par les masses d'air comprises entre la topographie (définie par un MNT, ie Modèle Numérique de Terrain) et une altitude de contrôle H, typiquement de l'ordre de 1500 à 2500 m, qui doit être plus élevée si le domaine comprend une topographie importante (domaines montagneux).

# 2. Le maillage

Le maillage horizontal définit un réseau X-Y régulier ou irrégulier, dont le pas peut varier de 1 mètre (en cas de prise en compte de bâtiments) à plusieurs kilomètres. Le maillage horizontal coïncide exactement avec les données du MNT, contenant la matrice des altitudes ZGij = ZG(Xi, Yj), où ZG est l'altitude de contrôle de chaque maille.

Le maillage vertical est défini par deux choix :

1. Définition d'une coordonnée verticale transformée S permettant de suivre le terrain:

$$S = (Z-ZG) / (H-ZG)$$

où: Z = altitude / mer de chaque point du maillage.

On a S=0 au sol et S=1 à l'altitude H par définition.

2. Définition d'un vecteur Sk contenant les valeurs de la cordonnée verticale S pour chaque niveau vertical de maillage, de sorte que les niveaux sont plus rapprochés près du sol (S=0) qu'en altitude (S=1).

# 3. Variables

Les variables 3D principales traitées sont toujours les trois composantes du vecteur vent moyen V(u,v,w) dans un système cartésien classique, et de manière optionnelle la température (T) et la diffusivité turbulente suivant la verticale (Kz).

Les variables 3D auxiliaires sont un champ de potentiel de Lagrange intermédiaire (P) calculé pour assurer la conservation de la masse (divergence nulle) et un facteur de transmissivité verticale (Alpha) lié à la stabilité, et dépendant éventuellement de la température et de la vitesse du vent.

# 4. Données d'entrée

Les données d'entrée du modèle sont :

- Le modèle numérique de terrain (MNT) ;
- La description de l'occupation des sols sur le même maillage horizontal ;
- Le masque terre mer (le cas échéant) ;
- Une description des bâtiments (facultatif);
- Toutes les données météorologiques disponibles (vent, température).

Les données météorologiques fournies en entrée peuvent être des données de mesure éparses, des données de prévision, des valeurs arbitraires (simulations à caractère académique). Il n'est pas obligatoire que les données météorologiques soient situées à l'intérieur du domaine géographique traité, défini par le MNT.

#### 5. Méthodes de calcul

Micro SWIFT comporte trois étapes de calcul distinctes :

Interpolation des données existantes pour fournir une première ébauche des champs de vent et de température recherchés.

Ajustement itératif, par une méthode variationnelle, de la solution, destiné à créer un champ de vitesses à divergence nulle, en prenant en compte les contraintes imposées par la stabilité atmosphérique.

Calcul de la turbulence de fond (méthode EPA) et éventuellement de la turbulence induite du fait de la présence de bâtiments.

# 6. Description des sorties

Les champs de vent 3D et de turbulence obtenus à l'issue de l'étape de turbulence :

Respectent les valeurs fournies en entrée au voisinage des points de données.

Satisfont l'équation de continuité sous sa forme incompressible (divergence nulle)

Restituent l'influence de la stabilité atmosphérique sur les déviations du vent.

Comportent un champ de vitesse verticale cohérent avec la topographie et les obstacles.

Fournissent une turbulence tridimensionnelle représentative du site étudié.

## 7. Références

Micro SWIFT appartient à la famille des modèles d'analyse objective à divergence nulle. Il est dérivé du modèle MINERVE, développé à partir de 1980 initialement par Electricité de France (EDF), qui a été appliqué à l'étude des sites nucléaires français, et validé notamment par EDF à l'occasion de campagnes météorologiques intensives, comportant une couverture météorologique à petite échelle rarement atteinte: jusqu'à 15 stations sol et 3 radars acoustiques vent (SODARS). On peut citer entre autres les expériences EDF de CREYS-MALVILLE 1983, CHOOZ 1986, VALLEE DU RHONE 1989 et la Campagne Européenne FOS 1983.

Les principales références applicatives commerciales du modèle MINERVE (études ou systèmes) sont les suivantes :

SNCF (2000)

CERTU, DDE 42, ADEME (1999)

DRIRE Haut.10-Normandie (1998)

BORDEAUX - Etude pour le compte de l'ADEME et EDF (1996-1997)

ROUEN-LE HAVRE Réseau AIR NORMAND (1997)

Regione Campania (NAPLES-ITALIE) Réseau de surveillance de la qualité de l'air.

Regione ABBRUZZO (ATRI-ITALIE) Réseau de surveillance de la qualité de l'air.

ENEL Centre de Recherches (MILAN-ITALIE)

CISE Centre d'études (SEGRAT.10-ITALIE)

RHONE-POULENC SA (LYON-FRANCE)

Institut Paul SCHERRER (VILLIGEN-CH)

Institut Josef STEFAN (Slovénie)

IBERDROLA SA (Madrid- Espagne)

Defence Nuclear Agency (Washington - USA)

HANFORD Nuclear Center (Seattle - USA)

CNRS Service d'aéronomie et LMD (Paris - France)

FOS-BERRE 1995 - Etude pour le compte de DRIR.10-PACA (Marseille - France)

Les principales références applicatives commerciales du modèle Micro SWIFT (études ou systèmes) sont les suivantes :

United States Department of Defence (US-DOD) (2002-2005)

CEA-DAM (2005)

Città di BOLOGNA (2003)

**ANNEXE** SUEZ Aria Technologies page 58 sur 66

# **Description du modèle Micro SPRAY**

## **INFORMATIONS DE BASE**

Version:

Version 5.0

# **Champs d'application:**

Modèle de dispersion lagrangien à particules. Il simule la dispersion des émissions atmosphériques par le mouvement stochastique de pseudo-particules dans le flux turbulent atmosphérique sur terrain complexe. Il peut effectuer des simulations de l'échelle locale (500 m-5 km) à la méso-échelle (100 km).

#### **INFORMATIONS DETAILLEES**

### **Description:**

Micro SPRAY est un modèle tridimensionnel pour la simulation de la dispersion des polluants dans l'atmosphère et peut tenir compte des variations du flux et de la turbulence atmosphérique aussi bien dans l'espace (conditions hétérogènes) que dans le temps (conditions non stationnaires). Il est en mesure de reconstruire des champs de concentration à partir de sources ponctuelles, linéaires, surfaciques ou volumiques.

Le polluant est simulé par des "particules virtuelles" dont le mouvement dans un domaine tridimensionnel est défini par le vent local et dont la dispersion est obtenue par le truchement de fluctuations de vitesse aléatoires solution des équations différentielles stochastiques, qui reproduisent les caractéristiques de la turbulence atmosphérique locale. De cette façon, différentes parties du panache émis peuvent "voir" différentes conditions atmosphériques, permettant des simulations plus réalistes en conditions difficiles que des modèles traditionnels (vent calme, inversion de température avec l'altitude, impact avec une topographie complexe, dispersion sur des sites avec de fortes discontinuités spatiales de type "terre - mer" ou "ville - campagne").

Le modèle simule la dispersion des polluants à l'intérieur d'un domaine de calcul de forme parallélépipédique dont la limite inférieure est représentée par une fonction  $Z_G(x,y)$  obtenue en interpolant avec une bilinéaire les niveaux du terrain dans chaque cellule d'un maillage tridimensionnel défini par l'utilisateur. Le mouvement moyen des particules est décrit par des matrices tridimensionnelles de module de vent dans le système de référence "terrain-following" x, y, s dont la coordonnée verticale s est définie comme :

$$S = \frac{Z - Z_g}{Z_{top} - Z_g}$$

où:

Z est la coordonnée géométrique verticale

Z<sub>top</sub> est l'altitude du sommet du domaine fluide étudié (en m)

ANNEXE SUEZ Aria Technologies page 59 sur 66

 $Z_g = Z_g (x,y)$  est l'altitude du relief (en m) au point de coordonnées (x,y) du maillage horizontal considéré.

Les particules interpolent linéairement la valeur du vent au point x, y, z où elles se trouvent en utilisant les valeurs de ces matrices. Il est possible de simuler des conditions non stationnaires en interpolant linéairement dans le temps la valeur entre deux matrices successives.

Le mouvement turbulent des particules est décrit à l'aide de l'intégration le long des axes cartésiens x, y, z, de 3 équations de Langevin pour les composantes des vitesses selon les schémas optionnels suivants :

Equations linéaires couplées avec une fonction de forçage aléatoire correspondant à une distribution de probabilité tridimensionnelle non gaussienne selon une réalisation du schéma de Thomson (1984). Des schémas de travail plus simples sont en outre pris en compte (équations découplées) pour traiter des problèmes à plus grande échelle.

Equations non linéaires avec forçage gaussien selon le schéma de Thomson (1987). Des schémas de description non gaussienne de la turbulence verticale sont également pris en compte selon la distribution bi-gaussienne Gram-Charlier du 3ème ordre ou du 4ème ordre. Sur le niveau de la couche limite, la part turbulente du mouvement des particules peut être optionnellement obtenue par l'intégration des équations stochastiques sur les déplacements.

La turbulence est décrite par des matrices tridimensionnelles dans le système x, y, s de :

$$\sigma_{\mathbf{u'_x}}, \, \sigma_{\mathbf{u'_y}}, \, \sigma_{\mathbf{u'_z}}, \, \overline{\mathbf{u'_z}}^3$$

$$\overline{\mathbf{u'_x}\,\mathbf{u'_y}}, \, \overline{\mathbf{u'_x}\,\mathbf{u'_z}}, \, \overline{\mathbf{u'_y}\,\mathbf{u'_z}}$$

$$T_{L_{u'_x}}$$
,  $T_{L_{u'_v}}$ ,  $T_{L_{u'_z}}$ 

dans le cas des schémas de Thomson 1984 ou bien :

$$\sigma_{\mathbf{u'_x}}, \, \sigma_{\mathbf{u'_v}}, \, \sigma_{\mathbf{u'_z}}, \, \overline{\mathbf{u'_z}^3}$$

$$T_{L_{u'_x}}$$
 ,  $T_{L_{u'_v}}$  ,  $T_{L_{u'_z}}$ 

 $K_x$ ,  $K_y$ ,  $K_z$  (options sur la couche limite)

dans le cas des schémas de Thomson 1987.

Schéma de génération interne des champs de turbulence, construits à travers les profils verticaux de similarité obtenus en considérant les caractéristiques du terrain.

Les variables d'échelle de la couche de surface (hauteur de la couche limite  $h_{mix}$ , vitesse de frottement  $u_*$ , longueur de Monin-Obukhov L, et vitesse convective verticale d'échelle  $w_*$ ) sont

ANNEXE SUEZ Aria Technologies

2025

calculées, sur la base des données d'entrée, pour chaque point du maillage grâce à un préprocesseur météorologique (Paine, 1988). Puis, les profils verticaux des variables turbulentes nécessaires à la simulation sont générés à partir de relations dépendantes de la stabilité atmosphérique (Hanna, 1982). La surhauteur des panaches est calculée par la formule d'Anfossi (Anfossi, 1985), capable de tenir compte des variations verticales et horizontales du vent et de la stabilité atmosphérique, grâce à une matrice tridimensionnelle de température sur la même grille que les matrices météorologiques.

## **Limitations:**

Le modèle ne contient pas de réactions chimiques entre les espèces émises, qui sont donc considérées comme inertes. La version 3.0 contient un schéma de dépôt sec et humide, et peut tenir compte de la chute gravitationnelle. La radio décroissance radioactive peut être également appliquée.

## **Résolution:**

# Résolution spatiale horizontale :

Maillage à pas fixe régulier :  $\Delta x = \Delta y$ 

Résolution minimale conseillée : 0,1 m (en cas de prise en compte de bâtiments)

Résolution maximale conseillée : 10km

Résolution spatiale verticale :

Maillage de type "terrain - following" de coordonnée S à pas variable défini par l'utilisateur.

# Résolution temporelle :

Possibilité de choisir entre des pas d'intégration  $\Delta t$  des équations de mouvement fixes ou variables.

∆t variables limités automatiquement par les caractéristiques du vent moyen et de la turbulence vue par la particule.

# <u>Techniques de résolution :</u>

Différences finies pour l'évolution temporelle des particules.

Optimisation du choix des pas de temps sur des échelles de temps Lagrangien dans le cas du schéma à  $\Delta t$  variable.

## **Données d'entrées requises :**

#### Générales :

Le positionnement, les dimensions, la structure horizontale et verticale du domaine, la topographie sont définis dans un fichier météorologique, en format binaire, contenant au minimum les champs de vent tridimensionnels. Les options du calcul (période et durée de la simulation, schémas numériques, conditions initiales et aux limites) sont contenues dans un fichier ASCII.

#### Météorologiques :

Micro SPRAY reçoit en entrée une série temporelle de champs tridimensionnels de vent, de température voire de turbulence sur le maillage décrit précédemment, dans un format binaire. Les champs de turbulence peuvent être générés en interne ou fournis sur le même maillage dans le même fichier que le vent, issu d'un modèle de dynamique des fluides externe. Dans le premier cas, doivent être fournies au modèle les matrices bidimensionnelles de caractérisation du sol, contenant les valeurs de: la hauteur de la rugosité  $Z_o$ , l'albédo et le rapport de Bowen (rapport entre le flux de chaleur sensible et latente au point du maillage). Il est en outre nécessaire d'avoir une série temporelle des données météorologiques qui couvre la période complète de simulation, en particulier pour la radiation solaire, la température et le gradient thermique vertical à l'aube, utilisés dans les schémas de paramétrisation de la turbulence de la couche limite.

#### Emissions:

La description des émissions : des sources de typologie multiple sont prévues (ponctuelles, linéaires et surfaciques) ce qui permet donc de simuler des cheminées ou des routes. Chacune peut émettre diverses espèces non réactives. On doit définir : la position, la géométrie et le taux d'émissions de chaque source pour chaque espèce considérée, sur des intervalles de temps quelconques non réguliers. Le nombre de particules pour chaque source est sélectionné par l'utilisateur et le modèle en détermine automatiquement la masse en fonction des caractéristiques de l'émission.

# Données de sorties générées :

Fichiers binaires de particules contenant la position, la masse, la source d'origine et le temps de vie de chaque particule, mémorisées à des intervalles de temps sélectionnés par l'utilisateur.

Matrices tridimensionnelles de concentrations sur un maillage "terrain-following" sélectionné par l'utilisateur, sur des temps moyennés et à des intervalles présélectionnés, avec la méthode du comptage dans chaque maille, sur un fichier binaire de structure similaire à celle du fichier de vents utilisé en entrée.

Fichiers binaires de reprise générés à des intervalles réguliers choisis par l'utilisateur et utilisés soit pour la récupération après d'éventuelles ruptures du calcul, soit pour diviser les simulations de longue durée en sections plus brèves analysées séparément.

Fichier ASCII d'informations sur le déroulement de la simulation.

# Disponibilité d'interfaces :

Le modèle a une interface à fichiers et ne nécessite pas d'interfaces utilisateurs graphiques particulières. Pour effectuer une simulation, seuls sont suffisants les outils d'édition standard présents sous les divers systèmes. Cette modalité permet la portabilité du code.

Il existe des interfaces utilisateurs graphiques développées par SUEZ Aria Technologies pour définir en mode interactif le contenu informatique de tous les fichiers ASCII d'entrée.

Les sorties binaires de particules et de concentration peuvent être lues et interfacées avec le pack graphique EWB de WINDLOGICS.

## **Documentation:**

La documentation est disponible en français, en italien et en anglais sur support papier ou sur support informatique.

# **Validation:**

## Simulations sur terrain plat:

Confrontation à des données mesurées durant une campagne dans la vallée du Rhin près de Karlsruhe (Thomas et al., 1983).

Le modèle a été modifié dans la partie relative à l'équation de mouvement vertical, de façon à tenir compte des hétérogénéités de la turbulence et a été appliqué pour la simulation des conditions neutres et convectives de l'expérience de Karlsruhe (Brusasca et al., 1989).

Simulation en conditions d'atmosphère stable et vent faible.

Il a été implémenté un algorithme ad hoc pour la simulation du vent meandering dans des conditions de vent faible et dans cette version, le modèle a été utilisé pour simuler l'expérience de traçage réalisé près du laboratoire INEL en Idaho (Sagendorf and Dickson, 1974). Les résultats ont été publiés dans deux articles (Anfossi et al., 1990; Brusasca et al., 1992).

Simulations de la surhauteur dynamique.

Il a été inséré et validé un algorithme pour le calcul de la surhauteur des fumées chaudes. Les résultats ont été confrontés avec des données de Lidar enregistrés durant la campagne internationale de Sostanj en 1991 en Slovénie (Anfossi et al., 1993).

# <u>Simulations sur terrain complexe</u>:

Expérimentation en soufflerie EPA sur des collines bidimensionnelles.

Des confrontations avec les données obtenues dans le cadre de l'expérience EPA RUSHIL (Khurshudyan et al., 1981) de dispersion sur des collines bidimensionnelles ont été réalisées. Les résultats obtenus ont été publiés (Tinarelli et al., 1994) et présentés aux congrès internationaux de l'American Meteorological Society de Portland - 1992 (Tinarelli et al., 1992) et du CCMS NATO à Valencia - Espagne (Tinarelli et al., 1993).

Expérience Transalpine.

Des simulations ont été effectuées sur l'expérience Transalp. 1989, qui consistait au rejet d'une substance traçante à l'embouchure des vallées Levantina et Blenio dans le canton Ticino (Suisse)

dans le but de vérifier les effets de la canalisation. Le jour simulé est le 19 octobre, de 11h à 17h, avec des conditions d'atmosphère instable à stable et sur une topographie extrêmement complexe. Les résultats ont été publiés dans un numéro spécial "d'Atmospheric Environment" consacré à la campagne Transalp. (Anfossi et al., 1998). Le travail a été entre autres présenté au congrès international CCMS NATO de 1995 à Baltimore (Brusasca et al., 1995).

## Campagne Sostani.

Des simulations de la période relative à la campagne de 1991 près de la centrale thermique de Sostani en Slovénie ont été réalisées conjointement par ENEL, CISE et Josef Stefan Institute de Lubiana. Le site est modérément montagneux et les situations de stabilité simulées étaient caractérisées par des conditions neutres et instables, avec quelques périodes de vent calme. Les résultats, présentés au congrès ENVIROSOFT 1994 de Barcelone (Espagne) et au workshop de Manno "Intercomparison of advanced practical short range atmospheric dispersion models" de 1993 (Tinarelli et al., 1993), ont été comparés avec ceux de modèles eulériens simples pour terrain complexe et d'un modèle lagrangien à bouffées montrant une supériorité de la part du modèle SPRAY qui se prête mieux à la simulation de situations complexes. Le travail mis en œuvre pour effectuer ces simulations avec SPRAY est décrit entre autres dans un rapport interne de l'ENEL (Tinarelli et al., 1994).

## **Applications:**

Poste de centralisation intelligent de Fusina et Porto Marghera. Une version simplifiée du code dénommée SPRAY/S a été mis en œuvre sur le nœud automatique de relevé environnemental de la région de Fusina et port Marghera (Stefani et al. 1997) où il est en mesure de fonctionner en temps réel, alimenté par des données fournies en automatique par le système d'acquisition des données.

Système de mesure environnemental de la décharge de Barricalla (Torino). A été mis en œuvre, sur un financement européen dans le cadre du projet LIFE 1, un système de contrôle de l'impact des émissions provenant de la décharge d'ordures toxiques située près de Turin dans la commune Barricalla (Pacitti et al., 1997). Le modèle SPRAY a été inséré dans ce système sur PC (Pacitti et al., 1997), et est utilisable sur demande pour réaliser des simulations de la dispersion des substances émises par la décharge ou des émissions du trafic provenant des axes routiers environnements.

Application dans le cadre de l'étude pluridisciplinaire du dépérissement du pin forestier et des autres espèces biogéniques de la vallée d'Aoste (Manzi et al., 1998). Des simulations de la dispersion des polluants provenant des principales émissions (trafic routier, industrie et chauffage domestique) recensées dans la région ont été effectuées sur un domaine de 100 × 80 km². Les simulations, sur une durée moyenne de 10 à 15 jours, ont permis de fournir une description climatologique du site sur un domaine extrêmement complexe, aussi bien pour des conditions estivales qu'hivernales.

Simulation des émissions provenant de la centrale thermoélectrique de Vado Ligure, pour le compte de la province de Savone. Des simulations de la dispersion des fumées émises par la centrale ont été réalisées sur une durée d'environ 10 jours sur un domaine de 20 × 23 km². L'objectif était de contrôler l'impact de la centrale sur le territoire environnant, à forte complexité topographique, et le niveau de représentativité du réseau de mesures météorologiques ou de qualité de l'air géré par l'ENEL et la province de Savone.

## Références :

- Anfossi D. (1985) Analysis of plume rise data from five TVA Steam Plants. J. Clim. appl. Met. 24, 1225-
- Anfossi D., Brusasca G., Tinarelli G. (1990): "Simulation of atmospheric diffusion in low windspeed meandering conditions by a Monte Carlo dispersion model". Il Nuovo Cimento C 13, N. 6, 995 1006.
- Anfossi D., Brusasca G., Tinarelli G. (1990): "Results from a random walk dispersion model in low windspeed stable conditions", Proc. of 9th Symposium on Turbulence and Diffusion, American Meteorological Society, Roskilde (Denmark), April 30 May 3, 6.1, 160-163.
- Anfossi D., Ferrero E., Brusasca G., Marzorati A., Tinarelli G. (1993): "A simple way of computing buoyant plume rise in Lagrangian stocastic dispersion models", Atmospheric Environment 27A, 1443-1451.
- Anfossi D., Desiato F., Tinarelli G., Brusasca G., Ferrero E., Sacchetti D.(1998): "TRANSALP 1989 Experimental Campaign part II: Simulation of a tracer experiment with Lagrangian particle models., Atmospheric Environment, 32, 7, 1157-1166.
- Brusasca G., Tinarelli G., Anfossi D. (1989): "Comparison between the results of a Monte Carlo atmospheric diffusion model and tracer experiments", Atmospheric Environment 23, 1263-1280.
- Brusasca G., Tinarelli G., Anfossi D. (1992): "Particle model simulation of diffusion in low windspeed stable conditions", Atmospheric Environment 26, 707-723.
- Brusasca G., Ferrero E., Anfossi D., Desiato F., Tinarelli G., Morselli M.G., Finardi S., Sacchetti D. (1995): "Intercomparison of 3-D flow and particle models with Transalp 1989 meteorological and tracer data", Proc. of the 21st CCMS-NATO meeting, Baltimore, 6-10 November, 1995, 386-394. Air Pollution Modelling and its Application XI, Plenum Press, 559-567
- Hanna S. R. Application in air pollution modelling in "Atmospheric Turbulence and Air Pollution Modelling". Ed. by S.T.M. Nieuwstadt and H.Van Dop, D.Reitell Pub. Comp., 1982, pp.275-310.
- Berkowicz, R., Hertel, O., Sørensen, N.N. and Michelsen, J.A., (1997), Modelling air pollution from traffic in urban areas. In Flow and Dispersion Through Groups of Obstacles, R.J.
- Perkins and S.E. Belcher (editors), Clarendon Press, Oxford, pp. 121-141.
- Hertel, O. and Berkowicz, R., (1989), Modelling pollution from traffic in a street canyon. Evaluation of data and model development, DMU Luft A-129, 77pp.
- Hertel, O and Berkowicz, R., (1989), Operational Street Pollution Model (OSPM). Evaluation of model on data from St. Olavs street in Oslo, DMU Luft A-135, 34pp.Khurshudyan L.H., W.H. Snyder, and I.Y. Nekrasov, 1981: Flow and dispersion of pollutants over two-dimensional hills. Rpt. No. EPA-600/4-81-067, Envir. Prot. Agcy., Res. Tri. Pk., N.C., USA
- Manzi G., Brusasca G., Morselli M.G., Tinarelli G. (1998): "Indagine generale per lo studio pluridisciplinare del deperimento del pino silvestre ed altre specie botaniche in Val D'Aosta, simulazione della dispersione in atmosfera degli inquinanti emessi dal traffico veicolare e dal riscaldamento", relazione ENEL/CRAM 1998-0022

Pacitti M., Mensio P., Brusasca G., Tinarelli G., Genon G., Marchese F., Nobile G., Malvasi G. (1997): "Global evaluation of the activity of toxic and hazardous waste landfills using monitoring and modeling integrated system". Proc. of 5th International Conference "Air Pollution 1997", 16-18 September, Bologna, Italy. Air Pollution V, modelling, monitoring and management, 517-526, Computational Mechanics Publications.

- Paine, R.J. User's guide to the CTDM meteorological preprocessor (METPRO) program. US-EPA report EPA/600/8-88/004, 1988.
- Sagendorf J.D. and Dickson C.R. (1974): Diffusion under low windspeed, inversion conditions. NOAA Technical Memorandum ERL ARL-52
- Stefani A., Brusasca G., Grigolon E., Martinelli U., Marzorati A. (1997) "Integrazione di un sistema di supervisione ambientale nel sistema informativo della Centrale Termoelettrica di Fusina", Atti del 97° convegno AEI Baveno (VB) 7-9 Maggio 1997.
- Tinarelli G., Giostra U., Ferrero E., Tampieri F., Anfossi D., Brusasca G., Trombetti F., (1992): "SPRAY, a 3-D particle model for complex terrain dispersion", Proc. of 10th Symposium on Turbulence and Diffusion, American Meteorological Society, Portland, Oregon (USA), 29-Sept. 2 Oct, P2.9, 147-150.
- Tinarelli G., D. Anfossi, G. Brusasca, E. Ferrero, J. Moussafir (1993) "A complete 3-D Lagrangian particle model to simulate the dispersion of non-reacting airborne pollutants over complex terrain". Workshop on: Intercomparison of Advanced Practical Short-Range Atmospheric Dispersion Models. Manno (Svizzera), August 29 September 3, 1993
- Tinarelli G., Anfossi D., Brusasca G., Ferrero E., Giostra U., Morselli M.G., Tampieri F., Trombetti F. (1993): "Lagrangian model simulation of 3-d concentration distribution over complex terrain", Proc. of the 20th CCMS-NATO meeting, Valencia, 29 November-3 Dicember 1993; Air Pollution Modelling and its Application X, Plenum Press, 621-622.
- Tinarelli G., Anfossi D., Brusasca G., Ferrero E., Giostra U., Morselli M.G., Moussafir J., Tampieri F., Trombetti F. (1994): "Lagrangian particle simulation of tracer dispersion in the lee of a schematic two-dimensional hill", Journal of Applied Meteorology, Vol. 33, N. 6, 744-756.
- Tinarelli G., Brusasca G., Morselli M.G. (1994): "Il modello Lagrangiano a particelle SPRAY Descrizione generale e validazioni", relazione ENEL/CRAM N. E1/94/10.
- Thomas P., Hubschmann W., Schuttelkops H., Vogt S., (1983): "Experimental determination of the atmospheric dispersion parameters at the Karlsruhe Nuclear Research Center for 160 m and 195 m emission heights. Part I: measured data. KfK Report 3456.
- Thomson D.J., (1984), Random walk modelling of diffusion in inhomogeneous turbulence, Q.J.R.Met.Soc. 110, 1107-1120.
- Thomson D.J. (1987), Criteria for the selection of stochastic models of particle trajectories in turbulent flows. J. Fluid Mech., 1987, 180, 529-556.